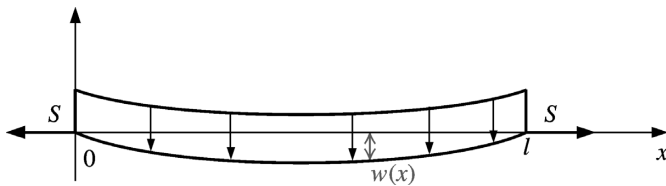


常微分方程之 邊界值問題

引言

在土木工程中有一個很常見的問題，是關於矩形截面積的梁承受均勻荷重時變形量的問題，而梁的 2 端固定，所以沒有變形量。



設 l 、 q 、 E 、 S 及 I 分別代表梁的長度、均勻荷重的強度、彈性模數、端點的應力、以及中央慣性矩 (central moment of inertia)。用於描述此一問題的微分方程為

$$\frac{d^2w}{dx^2}(x) = \frac{S}{EI}w(x) + \frac{qx}{2EI}(x - l)$$

其中 $w(x)$ 為由梁的左端起 x 距離處的變形量，因為在梁的端點處沒有變形量，所以邊界條件為

$$w(0) = 0 \text{ 且 } w(l) = 0$$

若此梁的厚度均一，則 EI 乘積為常數，很容易求得以上方程式的確解。當厚度不是均一的，則慣性矩 I 是 x 的函數，此問題必須以近似法求解。在 11.3 節的習題 7 以及 11.4 節的習題 6 就考慮了這樣的問題。

在第 5 章中所考慮的是一階微分方程，只有一個初始條件要滿足。在該章中我們也看到了，同樣的方法可推廣到方程組以及高階微分方程，但所有給定的條件都是在同一個端點。那些是屬於初值問題 (initial-value problem)。在本章中，我們將說明如何求邊界值問題 (boundary-value problem) 的近似解，也就是在 2 個端點都有外加條件的微分方程。對於一階微分方程，

因為只能指定一個條件，所以無所謂初值問題或邊界值問題的區別。我們將考慮有 2 個邊界值的二階微分方程。

如果一個實際的物理問題，它是與位置相關而非與時間相關，那麼用來描述此問題的微分方程，通常會在一個以上的點有外加條件。在本章中所要討論的 2 點邊界值問題，其所包括的二階微分方程的型式為

$$y'' = f(x, y, y') , \quad a \leq x \leq b \quad (11.1)$$

再加上邊界條件

$$y(a) = \alpha \text{ 及 } y(b) = \beta \quad (11.2)$$

11.1 線性射擊法

下面定理給出了，確保二階邊界值問題的解存在且唯一的通用條件。此定理的證明可參見 [Keller, H]。

定理 11.1

設邊界值問題

$$y'' = f(x, y, y') , \quad a \leq x \leq b , \quad y(a) = \alpha , \quad y(b) = \beta$$

中的函數 f 在集合

$$D = \{(x, y, y') \mid a \leq x \leq b\} , \text{ 約定 } -\infty < y < \infty \text{ 及 } -\infty < y' < \infty\}$$

中為連續，且偏導數 f_y 及 $f_{y'}$ 同樣在 D 上為連續。若

- (i) 對所有 $(x, y, y') \in D$ 都有 $f_y(x, y, y') > 0$ ，且
- (ii) 存在常數 M ，對所有 $(x, y, y') \in D$ ，可使得

$$|f_{y'}(x, y, y')| \leq M$$

則此邊界值問題有唯一解。 ■

例題 1 用定理 11.1 證明邊界值問題

$$y'' + e^{-xy} + \sin y' = 0 , \quad 1 \leq x \leq 2 , \quad y(1) = y(2) = 0$$

有唯一解。

解 我們有

$$f(x, y, y') = -e^{-xy} - \sin y'$$

且對所有屬於 $[1, 2]$ 的 x ，

$$f_y(x, y, y') = xe^{-xy} > 0 \text{ 及 } |f_{y'}(x, y, y')| = |- \cos y'| \leq 1$$

故此問題有唯一解。

■ 線性邊界值問題

當存在有線性函數 $p(x)$ 、 $q(x)$ 、 $r(x)$ 可使得

$$f(x, y, y') = p(x)y' + q(x)y + r(x)$$

則微分方程

$$y'' = f(x, y, y')$$

為線性。這種問題經常出現，對這種問題，定理 11.1 可以再簡化。

推論 11.2 如果線性邊界值問題

$$y'' = p(x)y' + q(x)y + r(x), \quad a \leq x \leq b, \quad y(a) = \alpha, \quad y(b) = \beta$$

滿足

(i) $p(x)$ 、 $q(x)$ 及 $r(x)$ 在 $[a, b]$ 上為連續，

(ii) 在 $[a, b]$ 上 $q(x) > 0$ ，

則此問題有唯一解。

要求此線性問題唯一解的近似解，我們先考慮初值問題

$$y'' = p(x)y' + q(x)y + r(x), \quad a \leq x \leq b, \quad y(a) = \alpha, \quad y'(a) = 0 \quad (11.3)$$

及

$$y'' = p(x)y' + q(x)y, \quad a \leq x \leq b, \quad y(a) = 0, \quad y'(a) = 1 \quad (11.4)$$

第 5.9 節的定理 5.17(見 314 頁) 確保了，在滿足推論 11.2 的假設條件時，2 個問題都有唯一解。

令 $y_1(x)$ 代表 (11.3) 式的解， $y_2(x)$ 代表 (11.4) 式的解。假設 $y_2(b) \neq 0$ 。(在習題 8 中會證明， $y_2(b) = 0$ 與推論 11.2 之前提相矛盾。) 定義

$$y(x) = y_1(x) + \frac{\beta - y_1(b)}{y_2(b)}y_2(x) \quad (11.5)$$

則 $y(x)$ 是線性邊界值問題 (11.3) 式的解。要了解此點，我們首先看到

$$y'(x) = y'_1(x) + \frac{\beta - y_1(b)}{y_2(b)}y'_2(x)$$

及

$$y''(x) = y''_1(x) + \frac{\beta - y_1(b)}{y_2(b)}y''_2(x)$$

在方程式中代入 $y_1''(x)$ 與 $y_2''(x)$ 可得

$$\begin{aligned} y'' &= p(x)y'_1 + q(x)y_1 + r(x) + \frac{\beta - y_1(b)}{y_2(b)} (p(x)y'_2 + q(x)y_2) \\ &= p(x) \left(y'_1 + \frac{\beta - y_1(b)}{y_2(b)} y'_2 \right) + q(x) \left(y_1 + \frac{\beta - y_1(b)}{y_2(b)} y_2 \right) + r(x) \\ &= p(x)y'(x) + q(x)y(x) + r(x) \end{aligned}$$

此外，

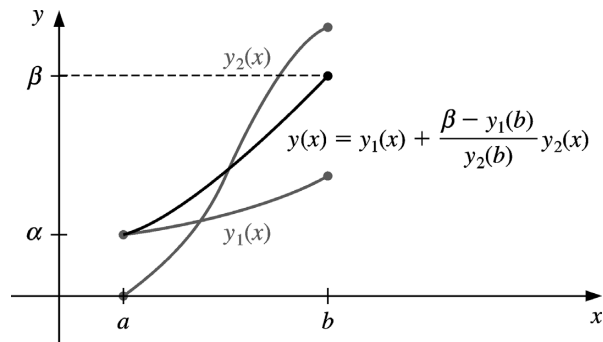
$$y(a) = y_1(a) + \frac{\beta - y_1(b)}{y_2(b)} y_2(a) = \alpha + \frac{\beta - y_1(b)}{y_2(b)} \cdot 0 = \alpha$$

且

$$y(b) = y_1(b) + \frac{\beta - y_1(b)}{y_2(b)} y_2(b) = y_1(b) + \beta - y_1(b) = \beta$$

■ 線性射擊法

用於線性方程的射擊法，就是將線性邊界值問題換成兩個初值問題 (11.3) 及 (11.4) 式。在第 5 章，我們介紹了許多的方法可以求 $y_1(x)$ 及 $y_2(x)$ 的近似解，求得這兩個近似解之後，用 (11.5) 式即可求得原邊界值問題的解。此方法可用圖形表示如圖 11.1。



| 圖 11.1

算則 11.1 使用四階 Runge-Kutta 法求 $y_1(x)$ 及 $y_2(x)$ 的近似解，但是 Step 4 也可換成別種求解初值問題的方法。

此算則有一個額外的功能，它在求出邊界值問題近似解的同時，也求出解的導數。並非一定要滿足推論 11.2 之假設條件的問題才能用此算則求解，許多不滿足這些條件的問題同樣可求得答案。習題 4 即為一例。

算則 11.1 線性射擊法 (Linear Shooting)

求邊界值問題

$$-y'' + p(x)y' + q(x)y + r(x) = 0 \quad , \quad a \leq x \leq b \quad , \quad y(a) = \alpha \quad , \quad y(b) = \beta$$

之近似解：

(註：(11.3) 及 (11.4) 式化成一階方程組型式求解。)

INPUT 端點 a 、 b ；邊界條件 α 、 β ；次區間數 N 。

OUTPUT $y(x_i)$ 的近似值 $w_{1,i}$ ； $y'(x_i)$ 的近似值 $w_{2,i}$, $i = 0, 1, \dots, N$ 。

Step 1 Set $h = (b - a)/N$;

$$\begin{aligned} u_{1,0} &= \alpha; \\ u_{2,0} &= 0; \\ v_{1,0} &= 0; \\ v_{2,0} &= 1. \end{aligned}$$

Step 2 For $i = 0, \dots, N - 1$ do Steps 3 and 4.

(在 Step 3 及 4 中用 Runge-Kutta 法解方程組)

Step 3 Set $x = a + ih$.

Step 4 Set $k_{1,1} = hu_{2,i}$;

$$\begin{aligned} k_{1,2} &= h[p(x)u_{2,i} + q(x)u_{1,i} + r(x)]; \\ k_{2,1} &= h[u_{2,i} + \frac{1}{2}k_{1,2}]; \\ k_{2,2} &= h[p(x + h/2)(u_{2,i} + \frac{1}{2}k_{1,2}) \\ &\quad + q(x + h/2)(u_{1,i} + \frac{1}{2}k_{1,1}) + r(x + h/2)]; \\ k_{3,1} &= h[u_{2,i} + \frac{1}{2}k_{2,2}]; \\ k_{3,2} &= h[p(x + h/2)(u_{2,i} + \frac{1}{2}k_{2,2}) \\ &\quad + q(x + h/2)(u_{1,i} + \frac{1}{2}k_{2,1}) + r(x + h/2)]; \\ k_{4,1} &= h[u_{2,i} + k_{3,2}]; \\ k_{4,2} &= h[p(x + h)(u_{2,i} + k_{3,2}) + q(x + h)(u_{1,i} + k_{3,1}) + r(x + h)]; \\ u_{1,i+1} &= u_{1,i} + \frac{1}{6}[k_{1,1} + 2k_{2,1} + 2k_{3,1} + k_{4,1}]; \\ u_{2,i+1} &= u_{2,i} + \frac{1}{6}[k_{1,2} + 2k_{2,2} + 2k_{3,2} + k_{4,2}]; \\ k'_{1,1} &= hv_{2,i}; \\ k'_{1,2} &= h[p(x)v_{2,i} + q(x)v_{1,i}]; \\ k'_{2,1} &= h[v_{2,i} + \frac{1}{2}k'_{1,2}]; \\ k'_{2,2} &= h[p(x + h/2)(v_{2,i} + \frac{1}{2}k'_{1,2}) + q(x + h/2)(v_{1,i} + \frac{1}{2}k'_{1,1})]; \\ k'_{3,1} &= h[v_{2,i} + \frac{1}{2}k'_{2,2}]; \\ k'_{3,2} &= h[p(x + h/2)(v_{2,i} + \frac{1}{2}k'_{2,2}) + q(x + h/2)(v_{1,i} + \frac{1}{2}k'_{2,1})]; \\ k'_{4,1} &= h[v_{2,i} + k'_{3,2}]; \\ k'_{4,2} &= h[p(x + h)(v_{2,i} + k'_{3,2}) + q(x + h)(v_{1,i} + k'_{3,1})]; \\ v_{1,i+1} &= v_{1,i} + \frac{1}{6}[k'_{1,1} + 2k'_{2,1} + 2k'_{3,1} + k'_{4,1}]; \\ v_{2,i+1} &= v_{2,i} + \frac{1}{6}[k'_{1,2} + 2k'_{2,2} + 2k'_{3,2} + k'_{4,2}]. \end{aligned}$$

Step 5 Set $w_{1,0} = \alpha$;

$$w_{2,0} = \frac{\beta - u_{1,N}}{v_{1,N}};$$

OUTPUT $(a, w_{1,0}, w_{2,0})$.

Step 6 For $i = 1, \dots, N$

$$\text{set } W1 = u_{1,i} + w_{2,0}v_{1,i};$$

$$W2 = u_{2,i} + w_{2,0}v_{2,i};$$

$$x = a + ih;$$

OUTPUT $(x, W1, W2)$. (輸出為 x_i 、 $w_{1,i}$ 、 $w_{2,i}$)

Step 7 STOP. (程序完成) ■

例題 2 將線性射擊法及 $N = 10$ ，用於邊界值問題

$$y'' = -\frac{2}{x}y' + \frac{2}{x^2}y + \frac{\sin(\ln x)}{x^2}, \quad 1 \leq x \leq 2, \quad y(1) = 1, \quad y(2) = 2$$

並將結果與確解

$$y = c_1x + \frac{c_2}{x^2} - \frac{3}{10}\sin(\ln x) - \frac{1}{10}\cos(\ln x)$$

做比較，其中

$$c_2 = \frac{1}{70}[8 - 12\sin(\ln 2) - 4\cos(\ln 2)] \approx -0.03920701320$$

及

$$c_1 = \frac{11}{10} - c_2 \approx 1.1392070132$$

解 將算則 11.1 用於此問題，我們須要求解的初值問題為

$$y_1'' = -\frac{2}{x}y_1' + \frac{2}{x^2}y_1 + \frac{\sin(\ln x)}{x^2}, \quad 1 \leq x \leq 2, \quad y_1(1) = 1, \quad y_1'(1) = 0$$

及

$$y_2'' = -\frac{2}{x}y_2' + \frac{2}{x^2}y_2, \quad 1 \leq x \leq 2, \quad y_2(1) = 0, \quad y_2'(1) = 1$$

在算則 11.1 中使用 $N = 10$ 及 $h = 0.1$ ，計算的結果如表 11.1 所示。表列的 $u_{1,i}$ 為 $y_1(x_i)$ 的近似值， $v_{1,i}$ 為 $y_2(x_i)$ 的近似值，而 w_i 則為

$$y(x_i) = y_1(x_i) + \frac{2 - y_1(2)}{y_2(2)}y_2(x_i)$$

的近似值。 ■

表 11.1

| x_i | $u_{1,i} \approx y_1(x_i)$ | $v_{1,i} \approx y_2(x_i)$ | $w_i \approx y(x_i)$ | $y(x_i)$ | $ y(x_i) - w_i $ |
|-------|----------------------------|----------------------------|----------------------|------------|------------------------|
| 1.0 | 1.00000000 | 0.00000000 | 1.00000000 | 1.00000000 | |
| 1.1 | 1.00896058 | 0.09117986 | 1.09262917 | 1.09262930 | 1.43×10^{-7} |
| 1.2 | 1.03245472 | 0.16851175 | 1.18708471 | 1.18708484 | 1.34×10^{-7} |
| 1.3 | 1.06674375 | 0.23608704 | 1.28338227 | 1.28338236 | 9.78×10^{-8} |
| 1.4 | 1.10928795 | 0.29659067 | 1.38144589 | 1.38144595 | 6.02×10^{-8} |
| 1.5 | 1.15830000 | 0.35184379 | 1.48115939 | 1.48115942 | 3.06×10^{-8} |
| 1.6 | 1.21248372 | 0.40311695 | 1.58239245 | 1.58239246 | 1.08×10^{-8} |
| 1.7 | 1.27087454 | 0.45131840 | 1.68501396 | 1.68501396 | 5.43×10^{-10} |
| 1.8 | 1.33273851 | 0.49711137 | 1.78889854 | 1.78889853 | 5.05×10^{-9} |
| 1.9 | 1.39750618 | 0.54098928 | 1.89392951 | 1.89392951 | 4.41×10^{-9} |
| 2.0 | 1.46472815 | 0.58332538 | 2.00000000 | 2.00000000 | |

在本例中，因為用了 $O(h^4)$ 的四階 Runge-Kutta 法求初值問題的近似解，所以結果非常準確。但很不幸的，此方法的背後隱藏著捨入誤差的問題。

■ 減少捨入誤差

如果隨著 x 由 a 到 b ， $y_1(x)$ 會快速增加，則會出現捨入誤差的問題。在此情形下 $u_{1,N} \approx y_1(b)$ 將會很大，且若 β 的絕對值比 $u_{1,N}$ 小很多，則 $w_{2,0} = (\beta - u_{1,N})/v_{1,N}$ 會近似於 $-u_{1,N}/v_{1,N}$ 。在 Step 6 的計算就成了

$$W1 = u_{1,i} + w_{2,0}v_{1,i} \approx u_{1,i} - \left(\frac{u_{1,N}}{v_{1,N}} \right) v_{1,i}$$

$$W2 = u_{2,i} + w_{2,0}v_{2,i} \approx u_{2,i} - \left(\frac{u_{1,N}}{v_{1,N}} \right) v_{2,i}$$

這有可能會減少有效位數。不過，因為 $u_{1,i}$ 是 $y_1(x_i)$ 的近似值，我們很容易監控 y_1 的行為，如果 $u_{1,i}$ 由 a 到 b 快速增大，射擊法可以倒轉使用，由 $x_0 = b$ 到 $x_N = a$ 。也就是求解以下初值問題：

$$y'' = p(x)y' + q(x)y + r(x) , \quad a \leq x \leq b , \quad y(b) = \alpha , \quad y'(b) = \alpha , \quad y'(b) = 0$$

及

$$y'' = p(x)y' + q(x)y , \quad a \leq x \leq b , \quad y(b) = 0 , \quad y'(b) = 1$$

如果反向射擊法仍然出現有效位數抵消的問題，或無法提高準確度，那就應該考慮別的方法，本章以後各節會介紹其中一些方法。通常，如果 $u_{1,i}$ 及 $v_{1,i}$ 是 $y_1(x_i)$ 與 $y_2(x_i)$ 的 $O(h^n)$

的近似值， $i = 0, 1, \dots, N$ ，則 $w_{1,i}$ 將同樣是 $y(x_i)$ 的 $O(h^n)$ 的近似值。特別有

$$|w_{1,i} - y(x_i)| \leq K h^n \left| 1 + \frac{v_{1,i}}{v_{1,N}} \right|$$

K 為某常數（見 [IK]，p.426）。

習題組 11.1

完整習題請見隨書光碟

1. 邊界值問題

$$y'' = 4(y - x), \quad 0 \leq x \leq 1, \quad y(0) = 0, \quad y(1) = 2$$

之確解為 $y(x) = e^2(e^4 - 1)^{-1}(e^{2x} - e^{-2x}) + x$ 。用線性射擊法求其近似解，並與確解做比較。

- a. 使用 $h = \frac{1}{2}$ ； b. 使用 $h = \frac{1}{4}$ 。

2. 邊界值問題

$$y'' = y' + 2y + \cos x, \quad 0 \leq x \leq \frac{\pi}{2}, \quad y(0) = -0.3, \quad y\left(\frac{\pi}{2}\right) = -0.1$$

之確解為 $y(x) = -\frac{1}{10}(\sin x + 3 \cos x)$ 。用線性射擊法求其近似解，並與確解做比較。

- a. 使用 $h = \frac{\pi}{4}$ ； b. 使用 $h = \frac{\pi}{8}$ 。

3. 用線性射擊法求下列各邊界值問題之近似解。

- a. $y'' = -3y' + 2y + 2x + 3, 0 \leq x \leq 1, y(0) = 2, y(1) = 1$ ；使用 $h = 0.1$ 。
 b. $y'' = -4x^{-1}y' - 2x^{-2}y + 2x^{-2} \ln x, 1 \leq x \leq 2, y(1) = -\frac{1}{2}, y(2) = \ln 2$ ；使用 $h = 0.05$ 。
 c. $y'' = -(x+1)y' + 2y + (1-x^2)e^{-x}, 0 \leq x \leq 1, y(0) = -1, y(1) = 0$ ；使用 $h = 0.1$ 。
 d. $y'' = x-1y' + 3x^{-2}y + x^{-1} \ln x - 1, 1 \leq x \leq 2, y(1) = y(2) = 0$ ；使用 $h = 0.1$ 。

4. 雖然在下列邊界值問題中 $q(x) < 0$ ，但都有唯一解，已列於各小題中。用線性射擊算則求下列問題的近似解，並與確解做比較。

- a. $y'' + y = 0, 0 \leq x \leq \frac{\pi}{4}, y(0) = 1, y\left(\frac{\pi}{4}\right) = 1$ ；使用 $h = \frac{\pi}{20}$ ；確解 $y(x) = \cos x + (\sqrt{2} - 1) \sin x$ 。
 b. $y'' + 4y = \cos x, 0 \leq x \leq \frac{\pi}{4}, y(0) = 0, y\left(\frac{\pi}{4}\right) = 0$ ；使用 $h = \frac{\pi}{20}$ ；確解 $y(x) = -\frac{1}{3} \cos 2x - \frac{\sqrt{2}}{6} \sin 2x + \frac{1}{3} \cos x$ 。
 c. $y'' = -4x^{-1}y' - 2x^{-2}y + 2x^{-2} \ln x, 1 \leq x \leq 2, y(1) = \frac{1}{2}, y(2) = \ln 2$ ；使用 $h = 0.05$ ；確解 $y(x) = 4x^{-1} - 2x^{-2} + \ln x - 3/2$ 。
 d. $y'' = 2y' - y + xe^x - x, 0 \leq x \leq 2, y(0) = 0, y(2) = -4$ ；使用 $h = 0.2$ ；確解 $y(x) = \frac{1}{6}x^3e^x - \frac{5}{3}xe^x + 2e^x - x - 2$ 。

5. 用線性射擊算則求邊界值問題

$$y'' = 100y, \quad 0 \leq x \leq 1, \quad y(0) = 1, \quad y(1) = e^{-10}$$

之近似解，已知其確解為 $y = e^{-10x}$ 。分別使用 $h = 0.1$ 及 0.05 。

6. 寫出二階初值問題 (11.3) 及 (11.4) 式所對應之一階方程組，然後推導出用四階 Runge-Kutta 法

解此方程組所須用到的方程式。

7. 令 u 代表 2 個同心金屬球之間的靜電位，球之半徑為 R_1 及 R_2 ($R_1 < R_2$)。內球之電位維持在 V_1 volts，外層的電位為 0 volts。兩球體之間的電位符合 Laplace 方程式，在本題中簡化為

$$\frac{d^2u}{dr^2} + \frac{2}{r} \frac{du}{dr} = 0, \quad R_1 \leq r \leq R_2, \quad u(R_1) = V_1, \quad u(R_2) = 0$$

設 $R_1 = 2$ 、 $R_2 = 4$ in、且 $V_1 = 110$ volts。

- a. 用線性射擊算則求 $u(3)$ 的近似值。
- b. 將 (a) 的結果與實際的 $u(3)$ 的電位相比較，其中

$$u(r) = \frac{V_1 R_1}{r} \left(\frac{R_2 - r}{R_2 - R_1} \right)$$

8. 證明，在推論 11.2 的前提之下，若 y_2 是 $y'' = p(x)y' + q(x)y$ 的解，且 $y_2(a) = y_2(b) = 0$ ，則 $y_2 \equiv 0$ 。

9. 考慮邊界值問題

$$y'' + y = 0, \quad 0 \leq x \leq b, \quad y(0) = 0, \quad y(b) = B$$

求 b 及 B 以使得邊界值問題為

- a. 無解
- b. 恰有一解
- c. 無限多解

10. 試著將習題 9 用於邊界值問題

$$y'' - y = 0, \quad 0 \leq x \leq b, \quad y(0) = 0, \quad y(b) = B$$

情況如何？此兩問題與推論 11.2 的關聯為何？



11.2 非線性問題射擊法

用於非線性二階邊界值問題

$$y'' = f(x, y, y'), \quad a \leq x \leq b, \quad y(a) = \alpha, \quad y(b) = \beta \quad (11.6)$$

的射擊法與線性的情況類似，只是非線性問題的解無法表示成 2 個初值問題解的線性組合。所以我們用一序列以 t 為參數之初值問題的解來近似邊界值問題。這些問題的型式為

$$y'' = f(x, y, y'), \quad a \leq x \leq b, \quad y(a) = \alpha, \quad y'(a) = t \quad (11.7)$$

我們選擇參數 $t = t_k$ 的方式是要確保

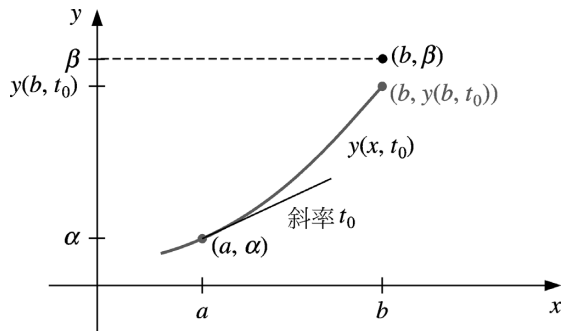
$$\lim_{k \rightarrow \infty} y(b, t_k) = y(b) = \beta$$

其中 $y(x, t_k)$ 代表 $t = t_k$ 時，初值問題 (11.7) 式的解，且 $y(x)$ 代表邊界值問題 (11.6) 式的解。

此方法之所以叫做「射擊」法，是因為它的過程可類比於射擊一個固定目標。(見圖 11.2) 我們由參數 t_0 開始，以此做為仰角，由點 (a, α) 射擊，初值問題

$$y'' = f(x, y, y') \quad , \quad a \leq x \leq b \quad , \quad y(a) = \alpha \quad , \quad y'(a) = t_0$$

的解即為射擊路徑。



| 圖 11.2

如果 $y(b, t_0)$ 不夠接近 β ，我們調整仰角 t_1, t_2 等等，直到 $y(b, t_k)$ 近到「擊中」 β 為止。(見圖 11.3)

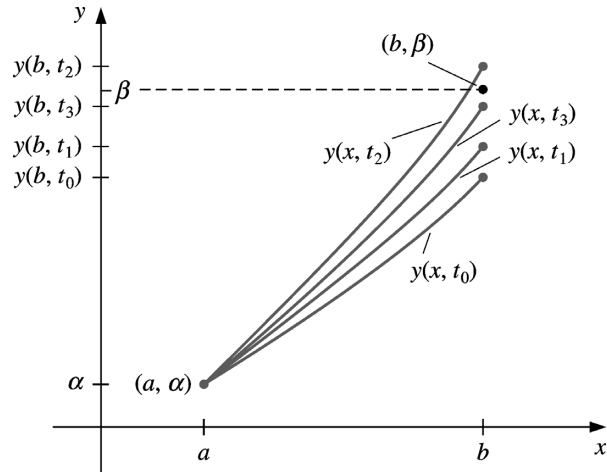
要決定參數 t_k ，我們設 (11.6) 式的邊界值問題滿足定理 11.1 的假設條件。如果 $y(x, t)$ 代表 (11.7) 式初值問題的解，我們接著用

$$y(b, t) - \beta = 0 \quad (11.8)$$

來決定 t 。

這是一個變數 t 的非線性方程式，我們在第 2 章中已討論過，有許多現成的方法可用來求解。

要使用正割法解此問題，我們須要 2 個初始近似值 t_0 及 t_1 ，然後用



| 圖 11.3

$$t_k = t_{k-1} - \frac{(y(b, t_{k-1}) - \beta)(t_{k-1} - t_{k-2})}{y(b, t_{k-1}) - y(b, t_{k-2})}, \quad k = 2, 3, \dots$$

以產生後續各項。

■ 牛頓迭代

如果用更有效率的牛頓法以產生數列 $\{t_k\}$ ，只須要一個初始近似值 t_0 。但其迭代方式為

$$t_k = t_{k-1} - \frac{y(b, t_{k-1}) - \beta}{\frac{dy}{dt}(b, t_{k-1})} \quad (11.9)$$

此時我們必須要知道 $(dy/dt)(b, t_{k-1})$ 。這就出現困難了，因為我們不知道 $y(b, t)$ 函數的外顯型式，我們只知道 $y(b, t_0)、y(b, t_1)、\dots、y(b, t_{k-1})$ 的值。

假設我們改寫初值問題 (11.7) 式，強調其解同時取決於 x 及 t ：

$$y''(x, t) = f(x, y(x, t), y'(x, t)) , \quad a \leq x \leq b , \quad y(a, t) = \alpha , \quad y'(a, t) = t \quad (11.10)$$

我們保留了上撇的符號，代表對 x 的微分。因為我們須要在 $t = t_{k-1}$ 時決定 $(dy/dt)(b, t)$ ，我們先將 (11.10) 式對 t 偏微。由此可得

$$\begin{aligned} \frac{\partial y''}{\partial t}(x, t) &= \frac{\partial f}{\partial t}(x, y(x, t), y'(x, t)) \\ &= \frac{\partial f}{\partial x}(x, y(x, t), y'(x, t)) \frac{\partial x}{\partial t} + \frac{\partial f}{\partial y}(x, y(x, t), y'(x, t)) \frac{\partial y}{\partial t}(x, t) \\ &\quad + \frac{\partial f}{\partial y'}(x, y(x, t), y'(x, t)) \frac{\partial y'}{\partial t}(x, t) \end{aligned}$$

因為 x 與 t 為獨立，故 $\partial x / \partial t = 0$ 且方程式簡化為

$$\frac{\partial y''}{\partial t}(x, t) = \frac{\partial f}{\partial y}(x, y(x, t), y'(x, t)) \frac{\partial y}{\partial t}(x, t) + \frac{\partial f}{\partial y'}(x, y(x, t), y'(x, t)) \frac{\partial y'}{\partial t}(x, t) \quad (11.11)$$

對 $a \leq x \leq b$ 。由初始條件得

$$\frac{\partial y}{\partial t}(a, t) = 0 \text{ 及 } \frac{\partial y'}{\partial t}(a, t) = 1$$

如果我們用 $z(x, t)$ 代替 $(\partial y / \partial t)(x, t)$ ，並假設對 x 及 t 微分的順序可互換，(11.11) 式及初始條件，就成為初值問題

$$z''(x, t) = \frac{\partial f}{\partial y}(x, y, y')z(x, t) + \frac{\partial f}{\partial y'}(x, y, y')z'(x, t) , \quad a \leq x \leq b \quad (11.12)$$

並有 $z(a, t) = 0$ 及 $z'(a, t) = 1$ 。

因此牛頓法每次迭代要解 2 個初值問題，(11.10) 及 (11.12) 式。然後由 (11.9) 式可得

$$t_k = t_{k-1} - \frac{y(b, t_{k-1}) - \beta}{z(b, t_{k-1})} \quad (11.13)$$

當然，我們沒法求得這些初值問題的確解，要用第 5 章介紹的方法求它們的近似解。算則 11.2 使用四階 Runge-Kutta 法求這兩個初值問題的近似解。習題 5 則是一個使用正割法的類似程序。

算則 11.2 使用牛頓法的非線性射擊 (Nonlinear Shooting with Newton's Method)

求非線性邊界值問題

$$y'' = f(x, y, y') \quad , \quad a \leq x \leq b \quad , \quad y(a) = \alpha \quad , \quad y(b) = \beta$$

之近似解：

(註：(II.10) 及 (II.12) 式改寫為一階方程組求解)

INPUT 端點 a 、 b ；邊界條件 α 、 β ；次區間數 $N \geq 2$ ；容許誤差 TOL ；最大迭代次數 M 。

OUTPUT $y(x_i)$ 的近似值 $w_{1,i}$ ； $y'(x_i)$ 的近似值 $w_{2,i}$ ， $i = 0, 1, \dots, N$ ，或超過最大迭代次數的訊息。

Step 1 Set $h = (b - a)/N$;

$$k = 1;$$

$$TK = (\beta - \alpha)/(b - a). \quad (\text{註：} TK \text{ 也可直接輸入})$$

Step 2 While ($k \leq M$) do Steps 3–10.

Step 3 Set $w_{1,0} = \alpha$;

$$w_{2,0} = TK;$$

$$u_1 = 0;$$

$$u_2 = 1.$$

Step 4 For $i = 1, \dots, N$ do Steps 5 and 6.

(Steps 5 及 6 用 Runge-Kutta 法解方程組)

Step 5 Set $x = a + (i - 1)h$.

Step 6 Set $k_{1,1} = hw_{2,i-1}$;

$$k_{1,2} = hf(x, w_{1,i-1} w_{2,i-1});$$

$$k_{2,1} = h(w_{2,i-1} + \frac{1}{2}k_{1,2});$$

$$k_{2,2} = hf(x + h/2, w_{1,i-1} + \frac{1}{2}k_{1,1}, w_{2,i-1} + \frac{1}{2}k_{1,2});$$

$$k_{3,1} = h(w_{2,i-1} + \frac{1}{2}k_{2,2});$$

$$k_{3,2} = hf(x + h/2, w_{1,i-1} + \frac{1}{2}k_{2,1}, w_{2,i-1} + \frac{1}{2}k_{2,2});$$

$$k_{4,1} = h(w_{2,i-1} + k_{3,2});$$

$$k_{4,2} = hf(x + h, w_{1,i-1} + k_{3,1}, w_{2,i-1} + k_{3,2});$$

$$w_{1,i} = w_{1,i-1} + (k_{1,1} + 2k_{2,1} + 2k_{3,1} + k_{4,1})/6;$$

$$w_{2,i} = w_{2,i-1} + (k_{1,2} + 2k_{2,2} + 2k_{3,2} + k_{4,2})/6;$$

$$k'_{1,1} = hu_2;$$

$$k'_{1,2} = h[f_y(x, w_{1,i-1}, w_{2,i-1})u_1$$

$$+ f'_y(x, w_{1,i-1}, w_{2,i-1})u_2];$$

$$\begin{aligned}
k'_{2,1} &= h \left[u_2 + \frac{1}{2} k'_{1,2} \right]; \\
k'_{2,2} &= h \left[f_y(x + h/2, w_{1,i-1}, w_{2,i-1}) \left(u_1 + \frac{1}{2} k'_{1,1} \right) \right. \\
&\quad \left. + f_{y'}(x + h/2, w_{1,i-1}, w_{2,i-1}) \left(u_2 + \frac{1}{2} k'_{1,2} \right) \right]; \\
k'_{3,1} &= h \left(u_2 + \frac{1}{2} k'_{2,2} \right); \\
k'_{3,2} &= h \left[f_y(x + h/2, w_{1,i-1}, w_{2,i-1}) \left(u_1 + \frac{1}{2} k'_{2,1} \right) \right. \\
&\quad \left. + f_{y'}(x + h/2, w_{1,i-1}, w_{2,i-1}) \left(u_2 + \frac{1}{2} k'_{2,2} \right) \right]; \\
k'_{4,1} &= h(u_2 + k'_{3,2}); \\
k'_{4,2} &= h \left[f_y(x + h, w_{1,i-1}, w_{2,i-1}) \left(u_1 + k'_{3,1} \right) \right. \\
&\quad \left. + f_{y'}(x + h, w_{1,i-1}, w_{2,i-1}) \left(u_2 + k'_{3,2} \right) \right]; \\
u_1 &= u_1 + \frac{1}{6}[k'_{1,1} + 2k'_{2,1} + 2k'_{3,1} + k'_{4,1}]; \\
u_2 &= u_2 + \frac{1}{6}[k'_{1,2} + 2k'_{2,2} + 2k'_{3,2} + k'_{4,2}].
\end{aligned}$$

Step 7 If $|w_{1,N} - \beta| \leq TOL$ then do Steps 8 and 9.

Step 8 For $i = 0, 1, \dots, N$
 set $x = a + ih$;
 OUTPUT $(x, w_{1,i}, w_{2,i})$.

Step 9 (程序完成)
 STOP.

Step 10 Set $TK = TK - \frac{w_{1,N} - \beta}{u_1}$;
 (用牛頓法求 TK)
 $k = k + 1$.

Step 11 OUTPUT ('Maximum number of iterations exceeded');
 (程式失敗)
 STOP. ■

在 Step 1 中所選的 $t_0 = TK$ 是通過 (a, α) 及 (b, β) 兩點直線的斜率。如果問題滿足定理 11.1 的假設條件，則任何的 t_0 都會收斂，但 t_0 選得好則會收斂的較快，對許多不滿足定理 11.1 假設條件的問題，此程序同樣會收斂。習題 3(d) 即為一例。

例題 1 以使用牛頓法的非線性射擊求解邊界值問題

$$y'' = \frac{1}{8}(32 + 2x^3 - yy') \quad , \quad 1 \leq x \leq 3 \quad , \quad y(1) = 17 \quad , \quad y(3) = \frac{43}{3}$$

使用 $N = 20$ 、 $M = 10$ 及 $TOL = 10^{-5}$ ，並將結果與其確解 $y(x) = x^2 + 16/x$ 做比較。

解 在每一步迭代，我們須要求初值問題

$$y'' = \frac{1}{8}(32 + 2x^3 - yy') \quad , \quad 1 \leq x \leq 3 \quad , \quad y(1) = 17 \quad , \quad y'(1) = t_k$$

及

$$z'' = \frac{\partial f}{\partial y} z + \frac{\partial f}{\partial y'} z' = -\frac{1}{8}(y'z + yz') \quad , \quad 1 \leq x \leq 3 \quad , \quad z(1) = 0 \quad , \quad z'(1) = 1$$

的近似解。如果算則 11.2 的停止條件為

$$|w_{1,N}(t_k) - y(3)| \leq 10^{-5}$$

我們須要 4 次迭代及 $t_4 = -14.000203$ 。用此 t 值獲得之結果列於表 11.2。 ■

|表 11.2

| x_i | $w_{1,i}$ | $y(x_i)$ | $ w_{1,i} - y(x_i) $ |
|-------|-----------|-----------|-----------------------|
| 1.0 | 17.000000 | 17.000000 | |
| 1.1 | 15.755495 | 15.755455 | 4.06×10^{-5} |
| 1.2 | 14.773389 | 14.773333 | 5.60×10^{-5} |
| 1.3 | 13.997752 | 13.997692 | 5.94×10^{-5} |
| 1.4 | 13.388629 | 13.388571 | 5.71×10^{-5} |
| 1.5 | 12.916719 | 12.916667 | 5.23×10^{-5} |
| 1.6 | 12.560046 | 12.560000 | 4.64×10^{-5} |
| 1.7 | 12.301805 | 12.301765 | 4.02×10^{-5} |
| 1.8 | 12.128923 | 12.128889 | 3.14×10^{-5} |
| 1.9 | 12.031081 | 12.031053 | 2.84×10^{-5} |
| 2.0 | 12.000023 | 12.000000 | 2.32×10^{-5} |
| 2.1 | 12.029066 | 12.029048 | 1.84×10^{-5} |
| 2.2 | 12.112741 | 12.112727 | 1.40×10^{-5} |
| 2.3 | 12.246532 | 12.246522 | 1.01×10^{-5} |
| 2.4 | 12.426673 | 12.426667 | 6.68×10^{-6} |
| 2.5 | 12.650004 | 12.650000 | 3.61×10^{-6} |
| 2.6 | 12.913847 | 12.913845 | 9.17×10^{-7} |
| 2.7 | 13.215924 | 13.215926 | 1.43×10^{-6} |
| 2.8 | 13.554282 | 13.554286 | 3.46×10^{-6} |
| 2.9 | 13.927236 | 13.927241 | 5.21×10^{-6} |
| 3.0 | 14.333327 | 14.333333 | 6.69×10^{-6} |

雖然射擊法配合牛頓法使用，每次迭代須要多解一個初值問題，但它通常收斂的比正割法快。不過 2 種方法都只是局部收斂，因為它們須要夠好的初始近似值。

關於非線性問題射擊法之收斂性的一般性討論，讀者可參考 Keller 的傑出著作 [Keller, H]。在該書中討論了更多的邊界條件。要注意的是，用於非線性問題的射擊法對捨入誤差敏感，尤其是當 $y(x)$ 及 $z(x,t)$ 為在 $[a, b]$ 間隨 x 快速增加的函數。

習題組 11.2 完整習題請見隨書光碟

1. 用非線性射擊算則及 $h = 0.5$ 求邊界值問題

$$y'' = -(y')^2 - y + \ln x, \quad 1 \leq x \leq 2, \quad y(1) = 0, \quad y(2) = \ln 2$$

之近似解。將結果與確解 $y = \ln x$ 做比較。

2. 用非線性射擊算則及 $h = 0.25$ 求邊界值問題

$$y'' = 2y^3, \quad -1 \leq x \leq 0, \quad y(-1) = \frac{1}{2}, \quad y(0) = \frac{1}{3}$$

之近似解。將結果與確解 $y(x) = 1/(x + 3)$ 做比較。

3. 用非線性射擊算則及 $TOL = 10^{-4}$ 求下列邊界值問題之近似解。將結果與所提供之確解做比較。

- a. $y'' = -e^{-2y}$, $1 \leq x \leq 2$, $y(1) = 0$, $y(2) = \ln 2$; 使用 $N = 10$; 確解為 $y(x) = \ln x$ 。
- b. $y'' = y' \cos x - y \ln y$, $0 \leq x \leq \frac{\pi}{2}$, $y(0) = 1$, $y\left(\frac{\pi}{2}\right) = e$; 使用 $N = 10$; 確解為 $y(x) = e^{\sin x}$ 。
- c. $y'' = -(2(y')^3 + y^2 y')$ sec x , $\frac{\pi}{4} \leq x \leq \frac{\pi}{3}$, $y\left(\frac{\pi}{4}\right) = 2^{-1/4}$, $y\left(\frac{\pi}{3}\right) = \frac{1}{2}\sqrt[4]{12}$; 使用 $N = 5$; 確解為 $y(x) = \sqrt{\sin x}$ 。
- d. $y'' = \frac{1}{2}(1 - (y')^2 - y \sin x)$, $0 \leq x \leq \pi$, $y(0) = 2$, $y(\pi) = 2$; 使用 $N = 20$; 確解為 $y(x) = 2 + \sin x$ 。

4. 用非線性射擊算則及 $TOL = 10^{-4}$ 求下列邊界值問題之近似解。將結果與所提供之確解做比較。

- a. $y'' = y^3 - yy'$, $1 \leq x \leq 2$, $y(1) = \frac{1}{2}$, $y(2) = \frac{1}{3}$; 使用 $h = 0.1$; 確解為 $y(x) = (x + 1)^{-1}$ 。
- b. $y'' = 2y^3 - 6y - 2x^3$, $1 \leq x \leq 2$, $y(1) = 2$, $y(2) = \frac{5}{2}$; 使用 $h = 0.1$; 確解為 $y(x) = x + x^{-1}$ 。
- c. $y'' = y' + 2(y - \ln x)^3 - x^{-1}$, $2 \leq x \leq 3$, $y(2) = \frac{1}{2} + \ln 2$, $y(3) = \frac{1}{3} + \ln 3$; 使用 $h = 0.1$; 確解為 $y(x) = x^{-1} + \ln x$ 。
- d. $y'' = 2(y')^2 x^{-3} - 9y^2 x^{-5} + 4x$, $1 \leq x \leq 2$, $y(1) = 0$, $y(2) = \ln 256$; 使用 $h = 0.05$; 確解為 $y(x) = x^3 \ln x$ 。

5. a. 修改算則 11.2，用正割法取代牛頓法。使用 $t_0 = (\beta - \alpha)/(b - a)$ 及 $t_1 = t_0 + (\beta - y(b, t_0))/(b - a)$ 。

- b. 用 (a) 小題推導出的正割算則，重做習題 4(a) 及 4(c)，並比較 2 種方法所須的迭代次數。

6. Van der Pol 方程式

$$y'' - \mu(y^2 - 1)y' + y = 0, \quad \mu > 0$$

為 3 元件真空管內部電流的統御方程式。令 $\mu = \frac{1}{2}$ 、 $y(0) = 0$ 及 $y(2) = 1$ 。求 $t = 0.2i$, $1 \leq i \leq 9$ 時 $y(t)$ 的近似解。



11.3 解線性問題之有限差分法

求解邊界值問題的線性及非線性射擊法，都可能會有不穩定的問題。在本節中所要探討的方法，其穩定性較佳，但要達到指定的準確度，所用的計算量通常也較大。

解邊界值問題的有限差分法，基本上是用 4.1 節所介紹的差分式，取代微分方程中的所有導數項。至於使用那種差分式及步進距離 h ，則取決於所希望的截尾誤差階數。但是因為近似導數的不穩定性，所以 h 不能太小。

■ 離散近似

將有限差分法用於線性二階邊界值問題

$$y'' = p(x)y' + q(x)y + r(x) \quad , \quad a \leq x \leq b \quad , \quad y(a) = \alpha \quad , \quad y(b) = \beta \quad (11.14)$$

須要用差分式取代 y' 及 y'' 兩者。首先選擇一個整數 $N > 0$ 將區間 $[a, b]$ 分成 $(N+1)$ 個次區段，每個次區段的端點為 $x_i = a + ih$ ， $i = 0, 1, \dots, N+1$ ，其中 $h = (b-a)/(N+1)$ 。這樣子決定步進距離，有助於使用第 6 章所介紹的矩陣算則，以求解包含 $N \times N$ 矩陣的線性方程組。

對於 $i = 1, 2, \dots, N$ 的內部網格點 x_i ，我們要近似的微分方程為

$$y''(x_i) = p(x_i)y'(x_i) + q(x_i)y(x_i) + r(x_i) \quad (11.15)$$

假設 $y \in C^4[x_{i-1}, x_{i+1}]$ ，將 y 在 x_i 以三次泰勒多項式展開，寫出它在 x_{i+1} 及 x_{i-1} 的多項式

$$y(x_{i+1}) = y(x_i + h) = y(x_i) + hy'(x_i) + \frac{h^2}{2}y''(x_i) + \frac{h^3}{6}y'''(x_i) + \frac{h^4}{24}y^{(4)}(\xi_i^+)$$

ξ_i^+ 在 (x_i, x_{i+1}) 之間，及

$$y(x_{i-1}) = y(x_i - h) = y(x_i) - hy'(x_i) + \frac{h^2}{2}y''(x_i) - \frac{h^3}{6}y'''(x_i) + \frac{h^4}{24}y^{(4)}(\xi_i^-)$$

ξ_i^- 在 (x_{i-1}, x_i) 之間。將這兩式相加可得

$$y(x_{i+1}) + y(x_{i-1}) = 2y(x_i) + h^2y''(x_i) + \frac{h^4}{24}[y^{(4)}(\xi_i^+) + y^{(4)}(\xi_i^-)]$$

由此可得 $y''(x_i)$ 為

$$y''(x_i) = \frac{1}{h^2}[y(x_{i+1}) - 2y(x_i) + y(x_{i-1})] - \frac{h^2}{24}[y^{(4)}(\xi_i^+) + y^{(4)}(\xi_i^-)]$$

可用中間值定理 (Intermediate Value Theorem) 1.11 簡化誤差項以得到

$$y''(x_i) = \frac{1}{h^2}[y(x_{i+1}) - 2y(x_i) + y(x_{i-1})] - \frac{h^2}{12}y^{(4)}(\xi_i) \quad (11.16)$$

ξ_i 在 (x_{i-1}, x_{i+1}) 之間。這叫做 $y''(x_i)$ 的**中央差分公式** (centered-difference formula)。

以類似的方法 (細節可參見 4.1 節) 可得 $y'(x_i)$ 的中央差分公式為

$$y'(x_i) = \frac{1}{2h} [y(x_{i+1}) - y(x_{i-1})] - \frac{h^2}{6} y'''(\eta_i) \quad (11.17)$$

η_i 在 (x_{i-1}, x_{i+1}) 之間。

將這 2 個中央差分公式代入 (11.15) 式可得

$$\begin{aligned} \frac{y(x_{i+1}) - 2y(x_i) + y(x_{i-1})}{h^2} &= p(x_i) \left[\frac{y(x_{i+1}) - y(x_{i-1})}{2h} \right] + q(x_i)y(x_i) \\ &\quad + r(x_i) - \frac{h^2}{12} [2p(x_i)y'''(\eta_i) - y^{(4)}(\xi_i)] \end{aligned}$$

利用此公式及邊界條件 $y(a) = \alpha$ 及 $y(b) = \beta$ ，我們可定義出截尾誤差為 $O(h^2)$ 的有限差分法

$$w_0 = \alpha, \quad w_{N+1} = \beta$$

及

$$\left(\frac{-w_{i+1} + 2w_i - w_{i-1}}{h^2} \right) + p(x_i) \left(\frac{w_{i+1} - w_{i-1}}{2h} \right) + q(x_i)w_i = -r(x_i) \quad (11.18)$$

$i = 1, 2, \dots, N$ 。

我們可將 (11.18) 式改寫為

$$-\left(1 + \frac{h}{2}p(x_i)\right)w_{i-1} + (2 + h^2q(x_i))w_i - \left(1 - \frac{h}{2}p(x_i)\right)w_{i+1} = -h^2r(x_i)$$

而此方程組可表示成 $N \times N$ 的三對角線矩陣型式

$$Aw = b, \text{ 其中} \quad (11.19)$$

$$A = \begin{bmatrix} 2 + h^2q(x_1) & -1 + \frac{h}{2}p(x_1) & 0 & \cdots & 0 \\ -1 - \frac{h}{2}p(x_2) & 2 + h^2q(x_2) & -1 + \frac{h}{2}p(x_2) & & \vdots \\ 0 & \ddots & \ddots & \ddots & 0 \\ \vdots & & \ddots & \ddots & -1 + \frac{h}{2}p(x_{N-1}) \\ 0 & \cdots & 0 & -1 - \frac{h}{2}p(x_N) & 2 + h^2q(x_N) \end{bmatrix},$$

$$w = \begin{bmatrix} w_1 \\ w_2 \\ \vdots \\ w_{N-1} \\ w_N \end{bmatrix}, \quad \text{及} \quad b = \begin{bmatrix} -h^2r(x_1) + \left(1 + \frac{h}{2}p(x_1)\right)w_0 \\ -h^2r(x_2) \\ \vdots \\ -h^2r(x_{N-1}) \\ -h^2r(x_N) + \left(1 - \frac{h}{2}p(x_N)\right)w_{N+1} \end{bmatrix}.$$

下面定理則給出了三對角線線性方程組 (11.19) 式有唯一解的條件。它的證明來自定理 6.31，將留在習題 9。

定理 11.3

設 p 、 q 及 r 在 $[a, b]$ 上為連續。如果在 $[a, b]$ 上 $q(x) \geq 0$ ，則在 $h < 2/L$ 之條件下，三對角線線性方程組 (11.19) 式有唯一解，其中 $L = \max_{a \leq x \leq b} |p(x)|$ 。 ■

我們必須要注意到，定理 11.3 的假設條件保證了 (11.14) 式的邊界值問題有唯一解，但並不保證 $y \in C^4[a, b]$ 。必須 $y^{(4)}$ 在 $[a, b]$ 上為連續，截尾誤差的階數才是 $O(h^2)$ 。

算則 11.3 即為線性有限差分法。

算則 11.3 線性有限差分法

求邊界值問題

$$y'' = p(x)y' + q(x)y + r(x), \quad a \leq x \leq b, \quad y(a) = \alpha, \quad y(b) = \beta$$

之近似解：

INPUT 端點 a 、 b ；邊界條件 α 、 β ；整數 $N \geq 2$ 。

OUTPUT 每個 $i = 0, 1, \dots, N + 1$ 處 $y(x_i)$ 的近似值 w_i 。

Step 1 Set $h = (b - a)/(N + 1)$;

$$x = a + h;$$

$$a_1 = 2 + h^2 q(x);$$

$$b_1 = -1 + (h/2)p(x);$$

$$d_1 = -h^2 r(x) + (1 + (h/2)p(x))\alpha.$$

Step 2 For $i = 2, \dots, N - 1$

$$\text{set } x = a + ih;$$

$$a_i = 2 + h^2 q(x);$$

$$b_i = -1 + (h/2)p(x);$$

$$c_i = -1 - (h/2)p(x);$$

$$d_i = -h^2 r(x).$$

Step 3 Set $x = b - h$;

$$a_N = 2 + h^2 q(x);$$

$$c_N = -1 - (h/2)p(x);$$

$$d_N = -h^2 r(x) + (1 - (h/2)p(x))\beta.$$

Step 4 Set $l_1 = a_1$; (Step 4-8 用算則 6.7 解三對角線線性方程組)

$$u_1 = b_1/a_1;$$

$$z_1 = d_1/l_1.$$

Step 5 For $i = 2, \dots, N - 1$ set $l_i = a_i - c_i u_{i-1}$;

$$u_i = b_i/l_i;$$

$$z_i = (d_i - c_i z_{i-1})/l_i.$$

Step 6 Set $l_N = a_N - c_N u_{N-1}$;

$$z_N = (d_N - c_N z_{N-1})/l_N.$$

Step 7 Set $w_0 = \alpha$;

$$w_{N+1} = \beta.$$

$$w_N = z_N.$$

Step 8 For $i = N - 1, \dots, 1$ set $w_i = z_i - u_i w_{i+1}$.

Step 9 For $i = 0, \dots, N + 1$ set $x = a + ih$;

OUTPUT (x, w_i) .

Step 10 STOP. (程序完成) ■

例題 1 用算則 11.3 及 $N=9$ 求線性邊界值問題

$$y'' = -\frac{2}{x}y' + \frac{2}{x^2}y + \frac{\sin(\ln x)}{x^2}, \quad 1 \leq x \leq 2, \quad y(1) = 1, \quad y(2) = 2$$

的近似解，並將結果與 11.1 節的例題 2 用射擊法所得的結果做比較。

解 在此問題中我們用 $N=9$ ，所以 $h=0.1$ ，和 11.1 節例題 2 所用的一樣。完整的結果列於表 11.3。

| 表 11.3

| x_i | w_i | $y(x_i)$ | $ w_i - y(x_i) $ |
|-------|------------|------------|-----------------------|
| 1.0 | 1.00000000 | 1.00000000 | |
| 1.1 | 1.09260052 | 1.09262930 | 2.88×10^{-5} |
| 1.2 | 1.18704313 | 1.18708484 | 4.17×10^{-5} |
| 1.3 | 1.28333687 | 1.28338236 | 4.55×10^{-5} |
| 1.4 | 1.38140205 | 1.38144595 | 4.39×10^{-5} |
| 1.5 | 1.48112026 | 1.48115942 | 3.92×10^{-5} |
| 1.6 | 1.58235990 | 1.58239246 | 3.26×10^{-5} |
| 1.7 | 1.68498902 | 1.68501396 | 2.49×10^{-5} |
| 1.8 | 1.78888175 | 1.78889853 | 1.68×10^{-5} |
| 1.9 | 1.89392110 | 1.89392951 | 8.41×10^{-6} |
| 2.0 | 2.00000000 | 2.00000000 | |

此處結果的準確度明顯比在 11.1 節例題 2 的結果差。這是因為在之前我們用四階 Runge-Kutta 法，其局部截尾誤差為 $O(h^4)$ ，而此處所用有限差分法的局部截尾誤差為 $O(h^2)$ 。■

有幾種方法可提昇有限差分法的準確性。我們可以用五階泰勒級數以近似 $y''(x_i)$ 與 $y'(x_i)$ ，以獲得 h^4 的截尾誤差項。但是這樣所得到的近似公式中，不只有 $y(x_{i+1})$ 和 $y(x_{i-1})$ ，也包含了 $y(x_{i+2})$ 和 $y(x_{i-2})$ 。這樣在 $i=0$ 與 $i=N$ 的地方就有困難了，因為我們沒有 w_{-1} 與 w_{N+2} 。同時，這樣得到的方程組也不是三對角線型式，求解過程所須的計算量多很多。

■ 運用 Richardson 外推

在這種情形下使用高階截尾誤差的有限差分法，不如減小步進距離更容易獲得滿意的結果。此外，只要 y 的可微程度足夠，理察森外推法 (Richardson extrapolation) 可以很有效的用於此處，因為誤差項是 h 的偶數次方，且其係數與 h 無關 (見，例如，[Keller, H] , p. 81)。

例題 2 用理察森外推法求邊界值問題

$$y'' = -\frac{2}{x}y' + \frac{2}{x^2}y + \frac{\sin(\ln x)}{x^2}, \quad 1 \leq x \leq 2, \quad y(1) = 1, \quad y(2) = 2$$

之近似解，使用 $h = 0.1$ 、 0.05 及 0.025 。

解 結果如表 11.4 所列。第一次外推為

$$\text{Ext}_{1i} = \frac{4w_i(h = 0.05) - w_i(h = 0.1)}{3}$$

第二次外推為

$$\text{Ext}_{2i} = \frac{4w_i(h = 0.025) - w_i(h = 0.05)}{3}$$

最後一次為

$$\text{Ext}_{3i} = \frac{16\text{Ext}_{2i} - \text{Ext}_{1i}}{15}$$

| 表 11.4

| x_i | $w_i(h = 0.05)$ | $w_i(h = 0.025)$ | Ext_{1i} | Ext_{2i} | Ext_{3i} |
|-------|-----------------|------------------|-------------------|-------------------|-------------------|
| 1.0 | 1.00000000 | 1.00000000 | 1.00000000 | 1.00000000 | 1.00000000 |
| 1.1 | 1.09262207 | 1.09262749 | 1.09262925 | 1.09262930 | 1.09262930 |
| 1.2 | 1.18707436 | 1.18708222 | 1.18708477 | 1.18708484 | 1.18708484 |
| 1.3 | 1.28337094 | 1.28337950 | 1.28338230 | 1.28338236 | 1.28338236 |
| 1.4 | 1.38143493 | 1.38144319 | 1.38144589 | 1.38144595 | 1.38144595 |
| 1.5 | 1.48114959 | 1.48115696 | 1.48115937 | 1.48115941 | 1.48115962 |
| 1.6 | 1.58238429 | 1.58239042 | 1.58239242 | 1.58239246 | 1.58239246 |
| 1.7 | 1.68500770 | 1.68501240 | 1.68501393 | 1.68501396 | 1.68501396 |
| 1.8 | 1.78889432 | 1.78889748 | 1.78889852 | 1.78889853 | 1.78889853 |
| 1.9 | 1.89392740 | 1.89392898 | 1.89392950 | 1.89392951 | 1.89392951 |
| 2.0 | 2.00000000 | 2.00000000 | 2.00000000 | 2.00000000 | 2.00000000 |

為節省空間，在表中省略了 $w_i(h = 0.1)$ 的值，它們已列於表 11.3。 $w_i(h = 0.025)$ 的值準確到約 3×10^{-6} 。但所有 Ext_{3i} 的結果都準確到所示的位數。事實上，如果使用的位數足夠的話，網格點上的近似解與確解的最大誤差為 6.3×10^{-11} ，這是很大的改進。 ■

習題組 11.3 完整習題請見隨書光碟

1. 邊界值問題

$$y'' = 4(y - x), \quad 0 \leq x \leq 1, \quad y(0) = 0, \quad y(1) = 2$$

的確解為 $y(x) = e^2(e^4 - 1)^{-1}(e^{2x} - e^{-2x}) + x$ 。用線性有限差分法求其近似解，並與確解做比較。

- a. 用 $h = 1/2$ ；
- b. 用 $h = 1/4$ ；
- c. 用外推法求 $y(1/2)$ 的近似值。

2. 邊界值問題

$$y'' = y' + 2y + \cos x, \quad 0 \leq x \leq \frac{\pi}{2}, \quad y(0) = -0.3, \quad y\left(\frac{\pi}{2}\right) = -0.1$$

的確解為 $y(x) = -\frac{1}{10}(\sin x + 3 \cos x)$ 用線性有限差分法求其近似解，並與確解做比較。

- a. 用 $h = \frac{\pi}{4}$ ；
- b. 用 $h = \frac{\pi}{8}$ ；
- c. 用外推法求 $y(\pi/4)$ 的近似值。

3. 用線性有限差分法求下列邊界值問題的近似解。

- a. $y'' = -3y' + 2y + 2x + 3, 0 \leq x \leq 1, y(0) = 2, y(1) = 1$ ；用 $h = 0.1$ 。
- b. $y'' = -4x^{-1}y' + 2x^{-2}y - 2x^{-2} \ln x, 1 \leq x \leq 2, y(1) = -\frac{1}{2}, y(2) = \ln 2$ ；用 $h = 0.05$ 。
- c. $y'' = -(x+1)y' + 2y + (1-x^2)e^{-x}, 0 \leq x \leq 1, y(0) = -1, y(1) = 0$ ；用 $h = 0.1$ 。
- d. $y'' = x^{-1}y' + 3x^{-2}y + x^{-1} \ln x - 1, 1 \leq x \leq 2, y(1) = y(2) = 0$ ；用 $h = 0.1$ 。

4. 雖然在下列邊界值問題中 $q(x) < 0$ ，但都存在有唯一解各如所示。用線性有限差分法求其近似解，並與確解做比較。

- a. $y'' + y = 0, 0 \leq x \leq \frac{\pi}{4}, y(0) = 1, y\left(\frac{\pi}{4}\right) = 1$ ；用 $h = \frac{\pi}{20}$ ；確解為 $y(x) = \cos x + (\sqrt{2} - 1) \sin x$ 。
- b. $y'' + 4y = \cos x, 0 \leq x \leq \frac{\pi}{4}, y(0) = 0, y\left(\frac{\pi}{4}\right) = 0$ ；用 $h = \frac{\pi}{20}$ ；確解為 $y(x) = -\frac{1}{3} \cos 2x - \frac{\sqrt{2}}{6} \sin 2x + \frac{1}{3} \cos x$ 。
- c. $y'' = -4x^{-1}y' + 2x^{-2}y - 2x^{-2} \ln x, y(1) = \frac{1}{2}, y(2) = \ln 2$ ；用 $h = 0.05$ ；確解為 $y(x) = 4x^{-1} - 2x^{-2} + \ln x - 3/2$ 。
- d. $y'' = 2y' - y + xe^x - x, 0 \leq x \leq 2, y(0) = 0, y(2) = -4$ ；用 $h = 0.2$ ；確解為 $y(x) = \frac{1}{6}x^3e^x - \frac{5}{3}xe^x + 2e^x - x - 2$ 。

5. 用線性射擊算則求邊界值問題

$$y'' = 100y, \quad 0 \leq x \leq 1, \quad y(0) = 1, \quad y(1) = e^{-10}$$

之近似解，已知其確解為 $y = e^{-10x}$ 。分別使用 $h = 0.1$ 及 0.05 。能否解釋其結果？

6. 用例題 2 中的外推法重複習題 3(a) 及 3(b)。

7. 在本章開始處的例題，考慮一根 2 端固定的梁承受均勻荷重時的變形量。此物理現象的邊界值問題為

$$\frac{d^2w}{dx^2} = \frac{S}{EI} w + \frac{qx}{2EI}(x-l), \quad 0 < x < l,$$

其邊界條件為 $w(0) = 0$ 及 $w(l) = 0$ 。

假設此梁是 W10 型鋼的工字梁，其特性如下：長度 $l = 10$ in、均勻荷重 $q = 100$ lb/ft、彈性模數 $E = 3.0 \times 10^7$ lb/in.²、端點應力 $S = 1000$ lb 及中央慣性矩 $I = 625$ in⁴。

a. 求梁上每隔 6 in 處變形量 $w(x)$ 的近似值。

b. 實際的關係已知為

$$w(x) = c_1 e^{ax} + c_2 e^{-ax} + b(x-l)x + c,$$

其中 $c_1 = 7.7042537 \times 10^4$ 、 $c_2 = 7.9207462 \times 10^4$ 、 $a = 2.3094010 \times 10^{-4}$ 、 $b = -4.1666666 \times 10^{-3}$ 及 $c = -1.5625 \times 10^5$ 。區間中的最大誤差是否小於 0.2 in?

c. 州法律規定 $\max_{0 < x < l} w(x) < l/300$ 。此梁是否符合規定？

8. 一塊受到均勻荷重的長矩形平板，在軸向張力下的統御方程式為二階微分方程。令 S 為軸向力， q 為均勻荷重。單位長度的變形量為

$$W''(x) - \frac{S}{D} W(x) = \frac{-ql}{2D}x + \frac{q}{2D}x^2, \quad 0 \leq x \leq l, \quad W(0) = W(l) = 0$$

其中 l 為平板長度， D 為撓屈剛性。令 $q = 200$ lb/in.²、 $S = 100$ lb/in.、 $D = 8.8 \times 10^7$ lb/in. 及 $l = 50$ in。以每時間隔求變形量的近似解。

9. 證明定理 11.3。[提示：利用定理 6.31，先證明由 $\left| \frac{h}{2}p(x_i) \right| < 1$ 可得 $\left| -1 - \frac{h}{2}p(x_i) \right| + \left| -1 + \frac{h}{2}p(x_i) \right| = 2$]

10. 證明，若 $y \in C^6[a, b]$ 且 w_0, w_1, \dots, w_{N+1} 滿足 (11.18) 式，則

$$w_i - y(x_i) = Ah^2 + O(h^4)$$

其中 A 與 h 無關，前提為對某個 w ，在 $[a, b]$ 間 $q(x) \geq w > 0$ 。

11.4 解非線性問題之有限差分法

非線性邊界值問題的通式為

$$y'' = f(x, y, y'), \quad a \leq x \leq b, \quad \text{且 } y(a) = \alpha \text{ 及 } y(b) = \beta$$

其有限差分法，與 11.3 節解線性問題所用的類似。但因為此處方程組不是線性的，必須用迭代的方式求解。

為推導求解程序，我們假設在後續討論中 f 滿足以下條件：

- f 及其偏導數 f_y 和 f_{yy} 在

$$D = \{(x, y, y') \mid a \leq x \leq b, -\infty < y < \infty \text{ 及 } -\infty < y' < \infty\}$$

上為連續；

- 對某 $\delta > 0$ ，在 D 上有 $f_y(x, y, y') \geq \delta$ ；
- 存在有常數 k 及 L 使得

$$k = \max_{(x, y, y') \in D} |f_y(x, y, y')| \text{ 及 } L = \max_{(x, y, y') \in D} |f_{y'}(x, y, y')|$$

由定理 11.1，這樣可確保存在有唯一解。

與線性時的做法相同，我們將區間 $[a, b]$ 分成 $(N+1)$ 個相等次區段，每個次區段的端點為 $x_i = a + ih$ ， $i = 0, 1, \dots, N+1$ 。假設其確解的四階導數為有界，故我們可以將每個方程式

$$y''(x_i) = f(x_i, y(x_i), y'(x_i))$$

中的 $y''(x_i)$ 及 $y'(x_i)$ ，換成 (11.16) 及 (11.17) 式的中央差分公式。對每個 $i = 1, 2, \dots, N$ ，可得

$$\frac{y(x_{i+1}) - 2y(x_i) + y(x_{i-1})}{h^2} = f\left(x_i, y(x_i), \frac{y(x_{i+1}) - y(x_{i-1})}{2h} - \frac{h^2}{6}y'''(\eta_i)\right) + \frac{h^2}{12}y^{(4)}(\xi_i)$$

其中 ξ_i 及 η_i 在 (x_{i-1}, x_{i+1}) 之間。

與線性的情況一樣，我們刪去誤差項，再加入邊界條件，可得有限差分法：

$$w_0 = \alpha, \quad w_{N+1} = \beta$$

及

$$-\frac{w_{i+1} - 2w_i + w_{i-1}}{h^2} + f\left(x_i, w_i, \frac{w_{i+1} - w_{i-1}}{2h}\right) = 0$$

$i = 1, 2, \dots, N$ 。

由此所得的 $N \times N$ 非線性方程組

$$\begin{aligned} 2w_1 - w_2 + h^2 f\left(x_1, w_1, \frac{w_2 - \alpha}{2h}\right) - \alpha &= 0 \\ -w_1 + 2w_2 - w_3 + h^2 f\left(x_2, w_2, \frac{w_3 - w_1}{2h}\right) &= 0 \\ &\vdots && (11.20) \\ -w_{N-2} + 2w_{N-1} - w_N + h^2 f\left(x_{N-1}, w_{N-1}, \frac{w_N - w_{N-2}}{2h}\right) &= 0, \\ -w_{N-1} + 2w_N + h^2 f\left(x_N, w_N, \frac{\beta - w_{N-1}}{2h}\right) - \beta &= 0 \end{aligned}$$

在 $h < 2/L$ 時有唯一解，其證明見 [Keller, H], p. 86。

■ 牛頓法迭代

我們用 10.2 節所介紹的，適用於非線性方程的牛頓法，求此非線性方程組的近似解。經由一序列的迭代可得到 $\{(w_1^{(k)}, w_2^{(k)}, \dots, w_N^{(k)})^t\}$ ，最後收斂到 (11.20) 式的解，其條件為初始近似值 $(w_1^{(0)}, w_2^{(0)}, \dots, w_N^{(0)})^t$ 與真實的解 $(w_1, w_2, \dots, w_N)^t$ 夠接近，且此方程組的 Jacobian 矩陣為非奇異。方程組 (11.20) 式的 Jacobian 矩陣 $J(w_1, \dots, w_N)$ 為三對角線型式，其第 ij 個元素為

$$J(w_1, \dots, w_N)_{ij} = \begin{cases} -1 + \frac{h}{2} f_y \left(x_i, w_i, \frac{w_{i+1} - w_{i-1}}{2h} \right), & i = j - 1 \text{ 及 } j = 2, \dots, N, \\ 2 + h^2 f_y \left(x_i, w_i, \frac{w_{i+1} - w_{i-1}}{2h} \right), & i = j \text{ 及 } j = 1, \dots, N, \\ -1 - \frac{h}{2} f_y \left(x_i, w_i, \frac{w_{i+1} - w_{i-1}}{2h} \right), & i = j + 1 \text{ 及 } j = 1, \dots, N - 1, \end{cases}$$

其中 $w_0 = \alpha$ 且 $w_{N+1} = \beta$ 。

用於非線性方程組的牛頓法，在每次迭代時要解 $N \times N$ 的線性方程組

$$\begin{aligned} J(w_1, \dots, w_N)(v_1, \dots, v_n)^t \\ = - \left(2w_1 - w_2 - \alpha + h^2 f \left(x_1, w_1, \frac{w_2 - \alpha}{2h} \right), \right. \\ -w_1 + 2w_2 - w_3 + h^2 f \left(x_2, w_2, \frac{w_3 - w_1}{2h} \right), \dots, \\ -w_{N-2} + 2w_{N-1} - w_N + h^2 f \left(x_{N-1}, w_{N-1}, \frac{w_N - w_{N-2}}{2h} \right), \\ \left. -w_{N-1} + 2w_N + h^2 f \left(x_N, w_N, \frac{\beta - w_{N-1}}{2h} \right) - \beta \right)^t \end{aligned}$$

以獲得 v_1, v_2, \dots, v_N ，因為

$$w_i^{(k)} = w_i^{(k-1)} + v_i, \quad i = 1, 2, \dots, N$$

由於 J 為三對角線矩陣，所以問題並不如乍看的嚴重。可以用 Crout 因式分解算則 (6.7) 來求解。其程序詳述於算則 11.4。

算則 11.4 非線性有限差分法 (Nonlinear Finite-Difference)

求非線性邊界值問題

$$y'' = f(x, y, y'), \quad a \leq x \leq b, \quad y(a) = \alpha, \quad y(b) = \beta$$

之近似解：

INPUT 端點 a, b ；邊界條件 α, β ；整數 $N \geq 2$ ；容許誤差 TOL ；最大迭代次數 M 。

OUTPUT 每個 $i = 0, 1, \dots, N + 1$ 處 $y(x_i)$ 的近似值 w_i ，或超過最大迭代次數的訊息。

Step 1 Set $h = (b - a)/(N + 1)$;

$$w_0 = \alpha;$$

$$w_{N+1} = \beta.$$

Step 2 For $i = 1, \dots, N$ set $w_i = \alpha + i \left(\frac{\beta - \alpha}{b - a} \right) h$.

Step 3 Set $k = 1$.

Step 4 While $k \leq M$ do Steps 5–16.

Step 5 Set $x = a + h$;

$$t = (w_2 - \alpha)/(2h);$$

$$a_1 = 2 + h^2 f_y(x, w_1, t);$$

$$b_1 = -1 + (h/2) f_y'(x, w_1, t);$$

$$d_1 = -(2w_1 - w_2 - \alpha + h^2 f(x, w_1, t)).$$

Step 6 For $i = 2, \dots, N - 1$

set $x = a + ih$;

$$t = (w_{i+1} - w_{i-1})/(2h);$$

$$a_i = 2 + h^2 f_y(x, w_i, t);$$

$$b_i = -1 + (h/2) f_y'(x, w_i, t);$$

$$c_i = -1 - (h/2) f_y'(x, w_i, t);$$

$$d_i = -(2w_i - w_{i+1} - w_{i-1} + h^2 f(x, w_i, t)).$$

Step 7 Set $x = b - h$;

$$t = (\beta - w_{N-1})/(2h);$$

$$a_N = 2 + h^2 f_y(x, w_N, t);$$

$$c_N = -1 - (h/2) f_y'(x, w_N, t);$$

$$d_N = -(2w_N - w_{N-1} - \beta + h^2 f(x, w_N, t)).$$

Step 8 Set $l_1 = a_1$; (Steps 8–12 用算則 6.7 解三對角線線性方程組)

$$u_1 = b_1/a_1;$$

$$z_1 = d_1/l_1.$$

Step 9 For $i = 2, \dots, N - 1$ set $l_i = a_i - c_i u_{i-1}$;

$$u_i = b_i/l_i;$$

$$z_i = (d_i - c_i z_{i-1})/l_i.$$

Step 10 Set $l_N = a_N - c_N u_{N-1}$;

$$z_N = (d_N - c_N z_{N-1})/l_N.$$

Step 11 Set $v_N = z_N$;

$$w_N = w_N + v_N.$$

Step 12 For $i = N - 1, \dots, 1$ set $v_i = z_i - u_i v_{i+1}$;

$$w_i = w_i + v_i.$$

Step 13 If $\|v\| \leq TOL$ then do Steps 14 and 15.

Step 14 For $i = 0, \dots, N + 1$ set $x = a + ih$;

OUTPUT (x, w_i) .

Step 15 STOP. (程式成功)

Step 16 Set $k = k + 1$.

Step 17 OUTPUT ('Maximum number of iterations exceeded');

(程式失敗)

STOP.

此一非線性有限差分法之精度為 $O(h^2)$ ，(見 [IK] , p. 433)。

如果無法確定一個問題是否滿足本節開始時所列的條件，我們應該指定一個迭代次數的上限，如果超過了此上限，就應該考慮換用別的初始近似值，或減小步進距離。在程序開始時可合理的假設解為線性，除非已知它們不是。在算則的 Step 2 中所用的初始近似值，是利用通過 (a, α) 及 (b, β) 兩點的直線，求得每一個 x_i , $i = 1, 2, \dots, N$ ，的函數值做為初始近似值 $w_i^{(0)}$ 。

例題 1 我們將算則 11.4 及 $h = 0.1$ 用於邊界值問題

$$y'' = \frac{1}{8}(32 + 2x^3 - yy') \text{, 其中 } 1 \leq x \leq 3 \text{, 且 } y(1) = 17 \text{, } y(3) = \frac{43}{3}$$

並將結果與 11.2 節例題 1 的做比較。

解 算則 11.4 所用的終止條件，是迭代到連續的兩個近似解的差小於 10^{-8} 為止。這須要 4 次迭代，所得結果列於表 11.5。它們不如之前用非線性射擊法所得的準確，之前結果在表的中間部分準確到 10^{-5} 。 ■

|表 11.5

| x_i | w_i | $y(x_i)$ | $ w_i - y(x_i) $ |
|-------|-----------|-----------|------------------------|
| 1.0 | 17.000000 | 17.000000 | |
| 1.1 | 15.754503 | 15.755455 | 9.520×10^{-4} |
| 1.2 | 14.771740 | 14.773333 | 1.594×10^{-3} |
| 1.3 | 13.995677 | 13.997692 | 2.015×10^{-3} |
| 1.4 | 13.386297 | 13.388571 | 2.275×10^{-3} |
| 1.5 | 12.914252 | 12.916667 | 2.414×10^{-3} |
| 1.6 | 12.557538 | 12.560000 | 2.462×10^{-3} |
| 1.7 | 12.299326 | 12.301765 | 2.438×10^{-3} |
| 1.8 | 12.126529 | 12.128889 | 2.360×10^{-3} |
| 1.9 | 12.028814 | 12.031053 | 2.239×10^{-3} |
| 2.0 | 11.997915 | 12.000000 | 2.085×10^{-3} |
| 2.1 | 12.027142 | 12.029048 | 1.905×10^{-3} |
| 2.2 | 12.111020 | 12.112727 | 1.707×10^{-3} |
| 2.3 | 12.245025 | 12.246522 | 1.497×10^{-3} |
| 2.4 | 12.425388 | 12.426667 | 1.278×10^{-3} |
| 2.5 | 12.648944 | 12.650000 | 1.056×10^{-3} |
| 2.6 | 12.913013 | 12.913846 | 8.335×10^{-4} |
| 2.7 | 13.215312 | 13.215926 | 6.142×10^{-4} |
| 2.8 | 13.553885 | 13.554286 | 4.006×10^{-4} |
| 2.9 | 13.927046 | 13.927241 | 1.953×10^{-4} |
| 3.0 | 14.333333 | 14.333333 | |

■ 使用理察森外推

理察森外推法同樣可用於非線性有限差分法。對於以上例題，使用 $h = 0.1$ 、 0.05 及 0.025 的外推結果列於表 11.6，每種條件迭代 4 次。為節省空間，在表中省略了 $w_i(h = 0.1)$ 的值，它們已列於表 11.5。 $w_i(h = 0.025)$ 的值準確到約 1.5×10^{-4} 。但所有的 Ext_{3i} 都準確至所示位數，其實際的最大誤差為 3.68×10^{-10} 。

| 表 11.6

| x_i | $w_i(h = 0.05)$ | $w_i(h = 0.025)$ | Ext_{1i} | Ext_{2i} | Ext_{3i} |
|-------|-----------------|------------------|-------------------|-------------------|-------------------|
| 1.0 | 17.00000000 | 17.00000000 | 17.00000000 | 17.00000000 | 17.00000000 |
| 1.1 | 15.75521721 | 15.75539525 | 15.75545543 | 15.75545460 | 15.75545455 |
| 1.2 | 14.77293601 | 14.77323407 | 14.77333479 | 14.77333342 | 14.77333333 |
| 1.3 | 13.99718996 | 13.99756690 | 13.99769413 | 13.99769242 | 13.99769231 |
| 1.4 | 13.38800424 | 13.38842973 | 13.38857346 | 13.38857156 | 13.38857143 |
| 1.5 | 12.91606471 | 12.91651628 | 12.91666881 | 12.91666680 | 12.91666667 |
| 1.6 | 12.55938618 | 12.55984665 | 12.56000217 | 12.56000014 | 12.56000000 |
| 1.7 | 12.30115670 | 12.30161280 | 12.30176684 | 12.30176484 | 12.30176471 |
| 1.8 | 12.12830042 | 12.12874287 | 12.12899094 | 12.12888902 | 12.12888889 |
| 1.9 | 12.03049438 | 12.03091316 | 12.03105457 | 12.03105275 | 12.03105263 |
| 2.0 | 11.99948020 | 11.99987013 | 12.00000179 | 12.00000011 | 12.00000000 |
| 2.1 | 12.02857252 | 12.02892892 | 12.02902924 | 12.02904772 | 12.02904762 |
| 2.2 | 12.11230149 | 12.11262089 | 12.11272872 | 12.11272736 | 12.11272727 |
| 2.3 | 12.24614846 | 12.24642848 | 12.24652299 | 12.24652182 | 12.24652174 |
| 2.4 | 12.42634789 | 12.42658702 | 12.42666773 | 12.42666673 | 12.42666667 |
| 2.5 | 12.64973666 | 12.64993420 | 12.65000086 | 12.65000005 | 12.65000000 |
| 2.6 | 12.91362828 | 12.91379422 | 12.91384683 | 12.91384620 | 12.91384615 |
| 2.7 | 13.21577275 | 13.21588765 | 13.21592641 | 13.21592596 | 13.21592593 |
| 2.8 | 13.55418579 | 13.55426075 | 13.55428603 | 13.55428573 | 13.55428571 |
| 2.9 | 13.92719268 | 13.92722921 | 13.92724153 | 13.92724139 | 13.92724138 |
| 3.0 | 14.33333333 | 14.33333333 | 14.33333333 | 14.33333333 | 14.33333333 |

習題組 11.4

完整習題請見隨書光碟

1. 用非線性有限差分法及 $h = 0.5$ ，求邊界值問題

$$y'' = -(y')^2 - y + \ln x, \quad 1 \leq x \leq 2, \quad y(1) = 0, \quad y(2) = \ln 2$$

的近似解。將結果與確解 $y = \ln x$ 相比較。

2. 用非線性有限差分法及 $h = 0.25$ ，求邊界值問題

$$y'' = 2y^3, \quad -1 \leq x \leq 0, \quad y(-1) = \frac{1}{2}, \quad y(0) = \frac{1}{3}$$

的近似解。將結果與確解 $y(x) = 1/(x+3)$ 相比較。

3. 用非線性有限差分法及 $TOL = 10^{-4}$ 求下列邊界值問題之近似解。與各小題列出的確解做比較。

a. $y'' = -e^{-2y}$, $1 \leq x \leq 2$ 、 $y(1) = 0$ 、 $y(2) = \ln 2$ ；用 $N = 9$ ；確解 $y(x) = \ln x$ 。

b. $y'' = y' \cos x - y \ln y$, $0 \leq x \leq \frac{\pi}{2}$ 、 $y(0) = 1$ 、 $y\left(\frac{\pi}{2}\right) = e$ ；用 $N = 9$ ；確解 $y(x) = e^{\sin x}$ 。

c. $y'' = -(2(y')^3 + y^2 y')$ $\sec x$, $\frac{\pi}{4} \leq x \leq \frac{\pi}{3}$ 、 $y\left(\frac{\pi}{4}\right) = 2^{-1/4}$ 、 $y\left(\frac{\pi}{3}\right) = \frac{1}{2}\sqrt[4]{12}$ ；用 $N = 4$ ；確解 $y(x) = \sqrt{\sin x}$ 。

d. $y'' = \frac{1}{2}(1 - (y')^2 - y \sin x)$, $0 \leq x \leq \pi$ 、 $y(0) = 2$ 、 $y(\pi) = 2$ ；用 $N = 19$ ；確解 $y(x) = 2 + \sin x$ 。

4. 用非線性有限差分法及 $TOL = 10^{-4}$ 求下列邊界值問題之近似解。與各小題列出的確解做比較。

a. $y'' = y^3 - yy'$, $1 \leq x \leq 2$ 、 $y(1) = \frac{1}{2}$ 、 $y(2) = \frac{1}{3}$ ；用 $h = 0.1$ ；確解 $y(x) = (x+1)^{-1}$ 。

b. $y'' = 2y^3 - 6y - 2x^3$, $1 \leq x \leq 2$ 、 $y(1) = 2$ 、 $y(2) = \frac{5}{2}$ ；用 $h = 0.1$ ；確解 $y(x) = x + x^{-1}$ 。

c. $y'' = y' + 2(y - \ln x)^3 - x^{-1}$, $2 \leq x \leq 3$ 、 $y(2) = \frac{1}{2} + \ln 2$ 、 $y(3) = \frac{1}{3} + \ln 3$ ；用 $h = 0.1$ ；確解 $y(x) = x^{-1} + \ln x$ 。

d. $y'' = (y')^2 x^{-3} - 9y^2 x^{-5} + 4x$, $1 \leq x \leq 2$ 、 $y(1) = 0$ 、 $y(2) = \ln 256$ ；用 $h = 0.05$ ；確解 $y(x) = x^3 \ln x$ 。

5. 用外推法重做習題 4(a) 及 4(b)。

6. 在 11.3 節的習題 7 中，我們考慮一根兩端固定的梁承受均勻荷重時的變形量。用更準確的方式來表示弧度，微分方程改寫為

$$[1 + (w'(x))^2]^{-3/2} w''(x) = \frac{S}{EI} w(x) + \frac{qx}{2EI}(x-l), \quad 0 < x < l$$

以每 6 in 間隔求變形量 $w(x)$ 的近似值，與 11.3 節習題 7 之結果做比較。

7. 證明，在本節開始處所列的假設條件，可保證在 $h < 2/L$ 時，Jacobian 矩陣為非奇異。



11.5 Rayleigh-Ritz 法

用射擊法求解邊界值問題時，我們將邊界值問題換成一對初值問題來求解。有限差分法則是將連續的微分，換成離散的差分運算。而 Rayleigh-Ritz 法則是第 3 種求解的方式，它是一種變分法。首先要改寫邊界值問題，將其表示成，在一個滿足邊界條件並充份可微的函數集合中，選出可使特定積分式有最小值的函數。然後逐步縮小此候選函數的集合，最後得到最小化問題的近似解，也就是邊界值問題的近似解。

為說明 Rayleigh-Ritz 法，我們考慮一個對應於梁的應力分析的，線性 2 點邊界值問題。其微分方程為

$$-\frac{d}{dx} \left(p(x) \frac{dy}{dx} \right) + q(x)y = f(x), \quad 0 \leq x \leq 1 \quad (11.21)$$

其邊界條件為

$$y(0) = y(1) = 0 \quad (11.22)$$

此方程式描述長度為 1 的梁之變形量 $y(x)$ ，其截面積 $q(x)$ 不為常數。其變形來自外力 $p(x)$ 及 $f(x)$ 。在習題 6 及 9 中則納入了更一般化的邊界條件。

在接下來的討論中，我們假設 $p \in C^1[0, 1]$ 且 $q, f \in C[0, 1]$ 。此外，我們假設存在有常數 $\delta > 0$ ，使得對每個 $[0, 1]$ 間的 x 都有

$$p(x) \geq \delta \text{ 且 } q(x) \geq 0$$

這些假設足以確保 (11.21) 及 (11.22) 式的邊界值問題有唯一解 (見 [BSW])。

■ 變分問題

與許多描述物理現象的邊界值問題一樣，描述梁的變形的公式之解，滿足一個積分式最小化之變分(variational)性質。梁方程式的變分原則是推導 Rayleigh -Ritz 法的基礎。對於所有屬於 $C_0^2[0, 1]$ 且滿足 $C^2[0, 1]$ 的函數 u ，梁方程式的解成為在所有此種函數集合 $u(0) = u(1) = 0$ 中選取可使得特定積分為最小的函數。以下定理即為此一特性。

定理 11.4

令 $p \in C^1[0, 1]$ ， $q, f \in C[0, 1]$ ，且

在 $0 \leq x \leq 1$ 時， $p(x) \geq \delta > 0$ ， $q(x) \geq 0$

函數 $y \in C_0^2[0, 1]$ 是微分方程

$$-\frac{d}{dx} \left(p(x) \frac{dy}{dx} \right) + q(x)y = f(x), \quad 0 \leq x \leq 1 \quad (11.23)$$

的唯一解，若且唯若 y 是屬於 $C_0^2[0, 1]$ 並可使積分式

$$I[u] = \int_0^1 \{p(x)[u'(x)]^2 + q(x)[u(x)]^2 - 2f(x)u(x)\} dx \quad (11.24)$$

為最小的函數。 ■

此定理的詳細證明可參考 [Shul] , pp. 88-89。其證明分成 3 步。首先證明 (11.23) 式的任一解 y 同時滿足方程式

- $\int_0^1 f(x)u(x)dx = \int_0^1 p(x)\frac{dy}{dx}(x)\frac{du}{dx}(x) + q(x)y(x)u(x)dx \quad (11.25)$

對所有 $u \in C_0^2[0,1]$ 。

- 第二步則要證明，若且唯若對所有的 $u \in C_0^2[0,1]$ ，(11.25) 式都成立，則 $y \in C_0^2[0,1]$ 是 (11.24) 式的解。
- 最後一步則證明 (11.25) 式有唯一解。此唯一解將同時也是 (11.24) 及 (11.23) 式的解，所以 (11.23) 式與 (11.24) 式具有相同的解。

Rayleigh-Ritz 法以積分最小化求 y 的近似解時，並非針對所有屬於 $C_0^2[0,1]$ 的函數，而是在一個較小的函數集合中尋找，此集合是由一組特定的基底函數 $\phi_1, \phi_2, \dots, \phi_n$ 的線性組合所構成。這些基底函數為線性獨立，並滿足

$$\phi_i(0) = \phi_i(1) = 0 \quad , \quad i = 1, 2, \dots, n$$

然後找出能夠使積分式 $I[\sum_{i=1}^n c_i \phi_i]$ 為最小的常數 c_1, c_2, \dots, c_n ，以得到 (11.23) 式的解 $y(x)$ 的近似值 $\phi(x) = \sum_{i=1}^n c_i \phi_i(x)$ 。

由 (11.24) 式

$$\begin{aligned} I[\phi] &= I\left[\sum_{i=1}^n c_i \phi_i\right] \\ &= \int_0^1 \left\{ p(x) \left[\sum_{i=1}^n c_i \phi'_i(x) \right]^2 + q(x) \left[\sum_{i=1}^n c_i \phi_i(x) \right]^2 - 2f(x) \sum_{i=1}^n c_i \phi_i(x) \right\} dx \end{aligned} \quad (11.26)$$

若考慮 I 為 c_1, c_2, \dots, c_n 的函數，要有最小值則必須

$$\frac{\partial I}{\partial c_j} = 0 \quad , \quad j = 1, 2, \dots, n \quad (11.27)$$

將 (11.26) 式微分得

$$\frac{\partial I}{\partial c_j} = \int_0^1 \left\{ 2p(x) \sum_{i=1}^n c_i \phi'_i(x) \phi'_j(x) + 2q(x) \sum_{i=1}^n c_i \phi_i(x) \phi_j(x) - 2f(x) \phi_j(x) \right\} dx$$

代入 (11.27) 式得

$$0 = \sum_{i=1}^n \left[\int_0^1 \{p(x)\phi'_i(x)\phi'_j(x) + q(x)\phi_i(x)\phi_j(x)\} dx \right] c_i - \int_0^1 f(x)\phi_j(x) dx \quad (11.28)$$

$j = 1, 2, \dots, n$ 。

(11.28) 式的正交方程式 (normal equations) 可寫成變數 c_1, c_2, \dots, c_n 的 $n \times n$ 線性方程組 $A\mathbf{c} = \mathbf{b}$ ，其中對稱矩陣 A 為

$$a_{ij} = \int_0^1 [p(x)\phi_i'(x)\phi_j'(x) + q(x)\phi_i(x)\phi_j(x)] dx$$

而 \mathbf{b} 定義為

$$b_i = \int_0^1 f(x)\phi_i(x) dx$$

■ 分段線性基底

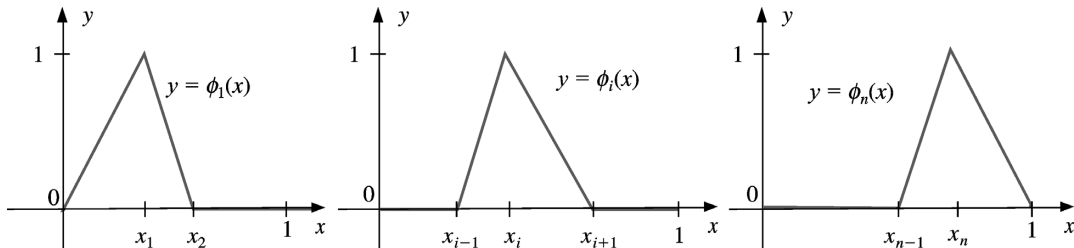
可選用的基底函數中，最簡單的是分段線性 (piecewise-linear) 多項式。第一步是將 $[0, 1]$ 分段，選擇點 x_0, x_1, \dots, x_{n+1} ，使得

$$0 = x_0 < x_1 < \dots < x_n < x_{n+1} = 1$$

對每個 $i = 0, 1, \dots, n$ ，令 $h_i = x_{i+1} - x_i$ ，我們定義基底函數 $\phi_1(x), \phi_2(x), \dots, \phi_n(x)$ 為

$$\phi_i(x) = \begin{cases} 0, & \text{若 } 0 \leq x \leq x_{i-1}, \\ \frac{1}{h_{i-1}}(x - x_{i-1}), & \text{若 } x_{i-1} < x \leq x_i, \\ \frac{1}{h_i}(x_{i+1} - x), & \text{若 } x_i < x \leq x_{i+1}, \\ 0, & \text{若 } x_{i+1} < x \leq 1, \end{cases} \quad (11.29)$$

$i = 1, 2, \dots, n$ 。(見圖 11.4)



| 圖 11.4

因為函數 ϕ_i 為分段線性，所以 ϕ'_i 不連續，在 (x_j, x_{j+1}) 間為常數，而 $j = 0, 1, \dots, n$ ，且

$$\phi'_i(x) = \begin{cases} 0, & \text{若 } 0 < x < x_{i-1}, \\ \frac{1}{h_{i-1}}, & \text{若 } x_{i-1} < x < x_i, \\ -\frac{1}{h_i}, & \text{若 } x_i < x < x_{i+1}, \\ 0, & \text{若 } x_{i+1} < x < 1, \end{cases} \quad (11.30)$$

$i = 1, 2, \dots, n$ 。

因為 ϕ_i 與 ϕ'_i 只有在 (x_{i-1}, x_{i+1}) 間不為零，所以除了在 j 等於 $i-1$ 、 i 或 $i+1$ 之外，我們有

$$\phi_i(x)\phi_j(x) \equiv 0 \text{ 及 } \phi'_i(x)\phi'_j(x) \equiv 0$$

所以 (11.28) 式所代表的線性方程組，可簡化為 $n \times n$ 三對角線線性方程組。而 A 的非 0 元素為

$$\begin{aligned} a_{ii} &= \int_0^1 \{p(x)[\phi'_i(x)]^2 + q(x)[\phi_i(x)]^2\} dx \\ &= \left(\frac{1}{h_{i-1}}\right)^2 \int_{x_{i-1}}^{x_i} p(x) dx + \left(\frac{-1}{h_i}\right)^2 \int_{x_i}^{x_{i+1}} p(x) dx \\ &\quad + \left(\frac{1}{h_{i-1}}\right)^2 \int_{x_{i-1}}^{x_i} (x - x_{i-1})^2 q(x) dx + \left(\frac{1}{h_i}\right)^2 \int_{x_i}^{x_{i+1}} (x_{i+1} - x)^2 q(x) dx \end{aligned}$$

$i = 1, 2, \dots, n$ ；及

$$\begin{aligned} a_{i,i+1} &= \int_0^1 \{p(x)\phi'_i(x)\phi'_{i+1}(x) + q(x)\phi_i(x)\phi_{i+1}(x)\} dx \\ &= -\left(\frac{1}{h_i}\right)^2 \int_{x_i}^{x_{i+1}} p(x) dx + \left(\frac{1}{h_i}\right)^2 \int_{x_i}^{x_{i+1}} (x_{i+1} - x)(x - x_i)q(x) dx \end{aligned}$$

$i = 1, 2, \dots, n-1$ 。和

$$\begin{aligned} a_{i,i-1} &= \int_0^1 \{p(x)\phi'_i(x)\phi'_{i-1}(x) + q(x)\phi_i(x)\phi_{i-1}(x)\} dx \\ &= -\left(\frac{1}{h_{i-1}}\right)^2 \int_{x_{i-1}}^{x_i} p(x) dx + \left(\frac{1}{h_{i-1}}\right)^2 \int_{x_{i-1}}^{x_i} (x_i - x)(x - x_{i-1})q(x) dx \end{aligned}$$

$i = 2, \dots, n$ 。而 **b** 的元素為

$$b_i = \int_0^1 f(x)\phi_i(x) dx = \frac{1}{h_{i-1}} \int_{x_{i-1}}^{x_i} (x - x_{i-1})f(x) dx + \frac{1}{h_i} \int_{x_i}^{x_{i+1}} (x_{i+1} - x)f(x) dx$$

$i = 1, 2, \dots, n$ 。

總共有六種積分式要求值：

$$\begin{aligned} Q_{1,i} &= \left(\frac{1}{h_i}\right)^2 \int_{x_i}^{x_{i+1}} (x_{i+1} - x)(x - x_i)q(x) dx , \quad i = 1, 2, \dots, n-1 \\ Q_{2,i} &= \left(\frac{1}{h_{i-1}}\right)^2 \int_{x_{i-1}}^{x_i} (x - x_{i-1})^2 q(x) dx , \quad i = 1, 2, \dots, n \\ Q_{3,i} &= \left(\frac{1}{h_i}\right)^2 \int_{x_i}^{x_{i+1}} (x_{i+1} - x)^2 q(x) dx , \quad i = 1, 2, \dots, n \\ Q_{4,i} &= \left(\frac{1}{h_{i-1}}\right)^2 \int_{x_{i-1}}^{x_i} p(x) dx , \quad i = 1, 2, \dots, n+1 \\ Q_{5,i} &= \frac{1}{h_{i-1}} \int_{x_{i-1}}^{x_i} (x - x_{i-1})f(x) dx , \quad i = 1, 2, \dots, n \end{aligned}$$

及

$$Q_{6,i} = \frac{1}{h_i} \int_{x_i}^{x_{i+1}} (x_{i+1} - x)f(x) dx , \quad i = 1, 2, \dots, n$$

在線性方程組 $A\mathbf{c} = \mathbf{b}$ 中的矩陣 A 及向量 \mathbf{b} 的元素為

$$\begin{aligned} a_{i,i} &= Q_{4,i} + Q_{4,i+1} + Q_{2,i} + Q_{3,i} , \quad i = 1, 2, \dots, n \\ a_{i,i+1} &= -Q_{4,i+1} + Q_{1,i} , \quad i = 1, 2, \dots, n-1 \\ a_{i,i-1} &= -Q_{4,i} + Q_{1,i-1} , \quad i = 2, 3, \dots, n \end{aligned}$$

及

$$b_i = Q_{5,i} + Q_{6,i} , \quad i = 1, 2, \dots, n$$

而 \mathbf{c} 的元素則為未知數 c_1, c_2, \dots, c_n ，利用這些未知數，由 $\phi(x) = \sum_{i=1}^n c_i \phi_i(x)$ 可構建出

Rayleigh-Ritz 近似解 ϕ 。

但這個方法在使用上須要計算 $6n$ 個積分式的值，這些積分式的值可以用直接積分，或是複合辛普森法則這類數值積分法來計算。

但另一種做法是，用分段線性內插多項式來近似函數 p 、 q 及 f ，然後積分這些近似式。以積分 $Q_{1,i}$ 為例。函數 q 的分段線性內插為

$$P_q(x) = \sum_{i=0}^{n+1} q(x_i) \phi_i(x)$$

其中 ϕ_1, \dots, ϕ_n 已定義於 (11.30) 式，且

$$\phi_0(x) = \begin{cases} \frac{x_1 - x}{x_1}, & \text{若 } 0 \leq x \leq x_1 \\ 0, & \text{其他} \end{cases} \quad \text{及} \quad \phi_{n+1}(x) = \begin{cases} \frac{x - x_n}{1 - x_n}, & \text{若 } x_n \leq x \leq 1 \\ 0, & \text{其他} \end{cases}$$

因為積分區間為 $[x_i, x_{i+1}]$ ，分段多項式 $P_q(x)$ 簡化為

$$P_q(x) = q(x_i)\phi_i(x) + q(x_{i+1})\phi_{i+1}(x)$$

這就是我們在 3.1 節探討過的一次內插多項式。由定理 3.3，若 $q \in C^2[x_i, x_{i+1}]$ 則

$$|q(x) - P_q(x)| = O(h_i^2) \quad , \quad x_i \leq x \leq x_{i+1}$$

在 $i = 1, 2, \dots, n-1$ ，對被積函數的近似值進行積分，可得 $Q_{1,i}$ 的近似值

$$\begin{aligned} Q_{1,i} &= \left(\frac{1}{h_i}\right)^2 \int_{x_i}^{x_{i+1}} (x_{i+1} - x)(x - x_i) q(x) dx \\ &\approx \left(\frac{1}{h_i}\right)^2 \int_{x_i}^{x_{i+1}} (x_{i+1} - x)(x - x_i) \left[\frac{q(x_i)(x_{i+1} - x)}{h_i} + \frac{q(x_{i+1})(x - x_i)}{h_i} \right] dx \\ &= \frac{h_i}{12} [q(x_i) + q(x_{i+1})] \end{aligned}$$

另外，若 $q \in C^2[x_i, x_{i+1}]$ 則

$$\left| Q_{1,i} - \frac{h_i}{12} [q(x_i) + q(x_{i+1})] \right| = O(h_i^3)$$

用同樣的方法，可得其他積分式的近似值為

$$\begin{aligned} Q_{2,i} &\approx \frac{h_{i-1}}{12} [3q(x_i) + q(x_{i-1})] & Q_{3,i} &\approx \frac{h_i}{12} [3q(x_i) + q(x_{i+1})] \\ Q_{4,i} &\approx \frac{h_{i-1}}{2} [p(x_i) + p(x_{i-1})] & Q_{5,i} &\approx \frac{h_{i-1}}{6} [2f(x_i) + f(x_{i-1})] \end{aligned}$$

及

$$Q_{6,i} \approx \frac{h_i}{6} [2f(x_i) + f(x_{i+1})]$$

算則 11.5 建構出三對角線線性方程組，並使用算則 6.7，Crout 因式分解法，求解此方程組。積分式 $Q_{1,i}, \dots, Q_{6,i}$ 可用之前所介紹的任一種方法求得。

算則 11.5 分段線性 Rayleigh-Ritz 法

利用分段線性函數

$$\phi(x) = \sum_{i=1}^n c_i \phi_i(x)$$

求邊界值問題

$$-\frac{d}{dx} \left(p(x) \frac{dy}{dx} \right) + q(x)y = f(x) \quad , \quad 0 \leq x \leq 1 \quad , \quad y(0) = 0 \quad , \quad y(1) = 0$$

的近似解：

INPUT 整數 $n \geq 1$ ；點 $x_0 = 0 < x_1 < \dots < x_n < x_{n+1} = 1$ 。

OUTPUT 係數 c_1, \dots, c_n 。

Step 1 For $i = 0, \dots, n$ set $h_i = x_{i+1} - x_i$.

Step 2 For $i = 1, \dots, n$ define the piecewise linear basis ϕ_i by

$$\phi_i(x) = \begin{cases} 0, & 0 \leq x \leq x_{i-1}, \\ \frac{x - x_{i-1}}{h_{i-1}}, & x_{i-1} < x \leq x_i, \\ \frac{x_{i+1} - x}{h_i}, & x_i < x \leq x_{i+1}, \\ 0, & x_{i+1} < x \leq 1. \end{cases}$$

Step 3 For each $i = 1, 2, \dots, n-1$ compute $Q_{1,i}, Q_{2,i}, Q_{3,i}, Q_{4,i}, Q_{5,i}, Q_{6,i}$;
Compute $Q_{2,n}, Q_{3,n}, Q_{4,n}, Q_{4,n+1}, Q_{5,n}, Q_{6,n}$.

Step 4 For each $i = 1, 2, \dots, n-1$, set $\alpha_i = Q_{4,i} + Q_{4,i+1} + Q_{2,i} + Q_{3,i}$;

$$\begin{aligned} \beta_i &= Q_{1,i} - Q_{4,i+1}; \\ b_i &= Q_{5,i} + Q_{6,i}. \end{aligned}$$

Step 5 Set $\alpha_n = Q_{4,n} + Q_{4,n+1} + Q_{2,n} + Q_{3,n}$;
 $b_n = Q_{5,n} + Q_{6,n}$.

Step 6 Set $a_1 = \alpha_1$; (Steps 6-10 用算則 6.7 解對稱三對角線線性方程組)

$$\begin{aligned} \zeta_1 &= \beta_1 / \alpha_1; \\ z_1 &= b_1 / a_1. \end{aligned}$$

Step 7 For $i = 2, \dots, n-1$ set $a_i = \alpha_i - \beta_{i-1}\zeta_{i-1}$;

$$\begin{aligned} \zeta_i &= \beta_i / a_i; \\ z_i &= (b_i - \beta_{i-1}z_{i-1}) / a_i \end{aligned}$$

Step 8 Set $a_n = \alpha_n - \beta_{n-1}\zeta_{n-1}$;

$$z_n = (b_n - \beta_{n-1}z_{n-1}) / a_n.$$

Step 9 Set $c_n = z_n$;

OUTPUT (c_n).

Step 10 For $i = n-1, \dots, 1$ set $c_i = z_i - \zeta_i c_{i+1}$;

OUTPUT (c_i).

Step 11 STOP. (程式完成)

以下說明題使用算則 11.5。因為這個例題很簡單，所以在 Steps 3、4 及 5 中，我們直接積分以獲得積分式的值。

說明題 求解邊界值問題

$$-y'' + \pi^2 y = 2\pi^2 \sin(\pi x), \quad 0 \leq x \leq 1, \quad y(0) = y(1) = 0$$

令 $h_i = h = 0.1$ ，所以 $x_i = 0.1i$ ， $i = 0, 1, \dots, 9$ 。積分式為

$$Q_{1,i} = 100 \int_{0.1i}^{0.1i+0.1} (0.1i + 0.1 - x)(x - 0.1i)\pi^2 dx = \frac{\pi^2}{60}$$

$$Q_{2,i} = 100 \int_{0.1i-0.1}^{0.1i} (x - 0.1i + 0.1)^2 \pi^2 dx = \frac{\pi^2}{30}$$

$$Q_{3,i} = 100 \int_{0.1i}^{0.1i+0.1} (0.1i + 0.1 - x)^2 \pi^2 dx = \frac{\pi^2}{30}$$

$$Q_{4,i} = 100 \int_{0.1i-0.1}^{0.1i} dx = 10$$

$$\begin{aligned} Q_{5,i} &= 10 \int_{0.1i-0.1}^{0.1i} (x - 0.1i + 0.1) 2\pi^2 \sin \pi x dx \\ &= -2\pi \cos 0.1\pi i + 20[\sin(0.1\pi i) - \sin((0.1i - 0.1)\pi)] \end{aligned}$$

及

$$\begin{aligned} Q_{6,i} &= 10 \int_{0.1i}^{0.1i+0.1} (0.1i + 0.1 - x) 2\pi^2 \sin \pi x dx \\ &= 2\pi \cos 0.1\pi i - 20[\sin((0.1i + 0.1)\pi) - \sin(0.1\pi i)] \end{aligned}$$

在線性方程組 $A\mathbf{c} = \mathbf{b}$ 中，

$$a_{i,i} = 20 + \frac{\pi^2}{15}, \quad i = 1, 2, \dots, 9$$

$$a_{i,i+1} = -10 + \frac{\pi^2}{60}, \quad i = 1, 2, \dots, 8$$

$$a_{i,i-1} = -10 + \frac{\pi^2}{60}, \quad i = 2, 3, \dots, 9$$

及

$$b_i = 40 \sin(0.1\pi i)[1 - \cos 0.1\pi], \quad i = 1, 2, \dots, 9$$

三對角線線性方程組的解為

$$c_9 = 0.3102866742, c_8 = 0.5902003271, c_7 = 0.8123410598$$

$$c_6 = 0.9549641893, c_5 = 1.004108771, c_4 = 0.9549641893$$

$$c_3 = 0.8123410598, c_2 = 0.5902003271, c_1 = 0.3102866742$$

分段線性近似為

$$\phi(x) = \sum_{i=1}^9 c_i \phi_i(x)$$

而此邊界值問題之確解為 $y(x) = \sin \pi x$ 。表 11.7 列出了 $i = 1, \dots, 9$ ，在每個 x_i 處的近似值與其誤差。

事實上我們可以證明，由分段線性基底函數所得的三對角線矩陣 A 是正定 (positive

表 11.7

| i | x_i | $\phi(x_i)$ | $y(x_i)$ | $ \phi(x_i) - y(x_i) $ |
|-----|-------|--------------|--------------|------------------------|
| 1 | 0.1 | 0.3102866742 | 0.3090169943 | 0.00127 |
| 2 | 0.2 | 0.5902003271 | 0.5877852522 | 0.00241 |
| 3 | 0.3 | 0.8123410598 | 0.8090169943 | 0.00332 |
| 4 | 0.4 | 0.9549641896 | 0.9510565162 | 0.00390 |
| 5 | 0.5 | 1.0041087710 | 1.0000000000 | 0.00411 |
| 6 | 0.6 | 0.9549641893 | 0.9510565162 | 0.00390 |
| 7 | 0.7 | 0.8123410598 | 0.8090169943 | 0.00332 |
| 8 | 0.8 | 0.5902003271 | 0.5877852522 | 0.00241 |
| 9 | 0.9 | 0.3102866742 | 0.3090169943 | 0.00127 |

definite) 矩陣 (見習題 12)，所以由定理 6.26 可知，此線性方程組對於捨入誤差為穩定。在本節一開始所述的假設條件下，我們有

$$|\phi(x) - y(x)| = O(h^2) \quad , x \text{ 在 } [0, 1] \text{ 之間}。$$

以上結果之證明可參見 [Schul], pp. 103-104。

■ B-雲形線基底

使用分段線性的基底函數所得的 (11.22) 及 (11.23) 式的近似解在 $[0, 1]$ 中是連續的但不可微。要獲得屬於 $C_0^2[0, 1]$ 的近似解，必須使用更複雜的基底函數。此種基底函數類似於 3.5 節介紹的三次內插雲形線。

回憶一下，對函數 f ，使用 x_0, x_1, x_2, x_3 及 x_4 5 個節點的三次內插雲形線 S 定義為：

- (a) 對 $j = 0, 1, 2, 3$ ， $S(x)$ 為 $[x_j, x_{j+1}]$ 間的三次多項式，記做 $S_j(x)$ ；
- (b) 對 $j = 0, 1, 2, 3$ ， $S_j(x_j) = f(x_j)$ 且 $S_j(x_{j+1}) = f(x_{j+1})$ ；
- (c) 對 $j = 0, 1, 2$ ， $S_{j+1}(x_{j+1}) = S_j(x_{j+1})$ (來自 (b))；
- (d) 對 $j = 0, 1, 2$ ， $S'_{j+1}(x_{j+1}) = S'_j(x_{j+1})$ ；
- (e) 對 $j = 0, 1, 2$ ， $S''_{j+1}(x_{j+1}) = S''_j(x_{j+1})$ ；
- (f) 滿足下列邊界條件之一：
 - (i) $S''(x_0) = S''(x_n) = 0$ (自然 (或自由) 邊界)；
 - (ii) $S'(x_0) = f'(x_0)$ 及 $S'(x_n) = f'(x_n)$ (固定邊界)。

為了要有唯一解，(a) 中常數的數目，16，必須等於 (b) 到 (f) 所有條件的總數，所以內插三次雲形線只能選取 (f) 中的一種邊界條件。

我們要用來做為基底函數的三次雲形線叫做 **B 雲形線** (B-splines)，或叫做鐘形雲形

線 (*bell-shaped splines*)。它們與內插雲形線不同的是，它們同時滿足 **(f)** 中的兩組邊界條件。所以必須在 **(b)** 到 **(e)** 中挑出 2 個條件不用。因為我們希望此雲形線在 $[x_0, x_4]$ 間為二階連續，所以我們由內插條件中刪去兩個，也就是將 **(b)** 修改為

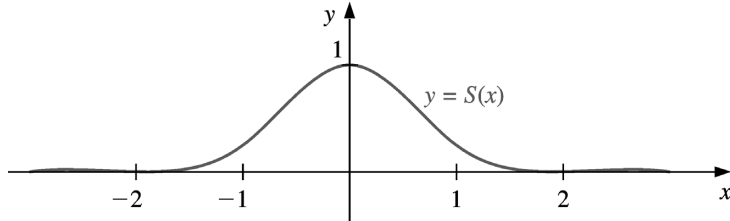
b. 對 $j = 0, 2, 4$, $S(x_j) = f(x_j)$ 。

舉例來說，對定義如下，並顯示於圖 11.5 中的基本 B 雲形線，圖中使用等間隔節點 $x_0 = -2$ 、 $x_1 = -1$ 、 $x_2 = 0$ 、 $x_3 = 1$ 及 $x_4 = 2$ 。它滿足內插條件

b. $S(x_0) = 0$, $S(x_2) = 1$, $S(x_4) = 0$ ；

並同時滿足兩組條件

(i) $S''(x_0) = S''(x_4) = 0$ 及 **(ii)** $S'(x_0) = S'(x_4) = 0$



| 圖 11.5

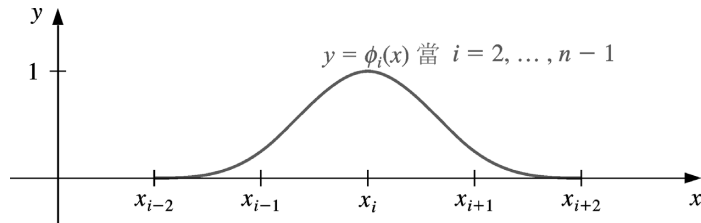
因此， $S \in C_0^2(-\infty, \infty)$ ，且

$$S(x) = \begin{cases} 0, & \text{若 } x \leq -2, \\ \frac{1}{4}(2+x)^3, & \text{若 } -2 \leq x \leq -1, \\ \frac{1}{4}[(2+x)^3 - 4(1+x)^3], & \text{若 } -1 < x \leq 0, \\ \frac{1}{4}[(2-x)^3 - 4(1-x)^3], & \text{若 } 0 < x \leq 1, \\ \frac{1}{4}(2-x)^3, & \text{若 } 1 < x \leq 2, \\ 0, & \text{若 } 2 < x. \end{cases} \quad (11.31)$$

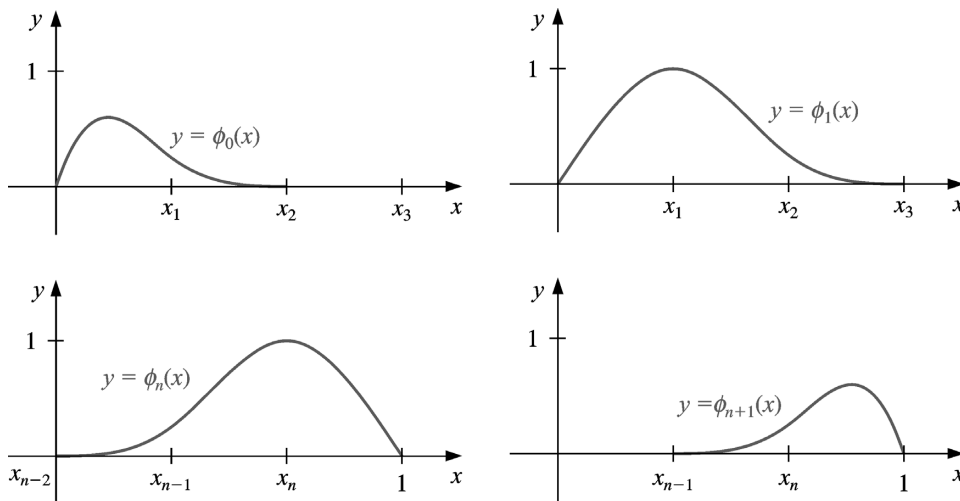
我們現在用此基本 B 雲形線以建立屬於 $C_0^2[0, 1]$ 的基底函數 ϕ_i 。我們首先選取正整數 n 並定義 $h = 1/(n+1)$ 以劃分區間 $[0, 1]$ 。這樣可得等間隔分布之節點 $x_i = ih$, $i = 0, 1, \dots, n+1$ 。然後我們定義基底函數 $\{\phi_i\}_{i=0}^{n+1}$ 為

$$\phi_i(x) = \begin{cases} S\left(\frac{x}{h}\right) - 4S\left(\frac{x+h}{h}\right), & \text{若 } i = 0, \\ S\left(\frac{x-h}{h}\right) - S\left(\frac{x+h}{h}\right), & \text{若 } i = 1, \\ S\left(\frac{x-ih}{h}\right), & \text{若 } 2 \leq i \leq n-1, \\ S\left(\frac{x-nh}{h}\right) - S\left(\frac{x-(n+2)h}{h}\right), & \text{若 } i = n, \\ S\left(\frac{x-(n+1)h}{h}\right) - 4S\left(\frac{x-(n+2)h}{h}\right), & \text{若 } i = n+1. \end{cases}$$

不難證明 $\{\phi_i\}_{i=0}^{n+1}$ 是三次雲形線的線性獨立集合，並滿足 $\phi_i(0) = \phi_i(1) = 0$ ， $i = 0, 1, \dots, n, n+1$ (見習題 11)。圖 11.6 顯示了 $2 \leq i \leq n-1$ 時 ϕ_i 的圖形，另外 ϕ_0 、 ϕ_1 、 ϕ_n 及 ϕ_{n+1} 的圖形顯示於圖 11.7。



| 圖 11.6



| 圖 11.7

因為 $\phi_i(x)$ 與 $\phi'_i(x)$ 只有在 $x \in [x_{i-2}, x_{i+2}]$ 時不為 0，所以 Rayleigh-Ritz 法用到的矩陣是帶寬最大為 7 的帶狀矩陣：

$$A = \begin{bmatrix} a_{00} & a_{01} & a_{02} & a_{03} & 0 & \cdots & \cdots & \cdots & 0 \\ a_{10} & a_{11} & a_{12} & a_{13} & a_{14} & \cdots & \cdots & \cdots & \vdots \\ a_{20} & a_{21} & a_{22} & a_{23} & a_{24} & a_{25} & \cdots & \cdots & \vdots \\ a_{30} & a_{31} & a_{32} & a_{33} & a_{34} & a_{35} & a_{36} & \cdots & 0 \\ 0 & \ddots & a_{n-2,n+1} \\ 0 & 0 & \cdots & \cdots & 0 & a_{n+1,n-2} & a_{n+1,n-1} & a_{n+1,n} & a_{n+1,n+1} \end{bmatrix} \quad (11.32)$$

其中

$$a_{ij} = \int_0^1 \{p(x)\phi_i'(x)\phi_j'(x) + q(x)\phi_i(x)\phi_j(x)\} dx$$

$i, j = 0, 1, \dots, n+1$ 。向量 \mathbf{b} 的分量為

$$b_i = \int_0^1 f(x)\phi_i(x)dx$$

矩陣 A 為正定 (見習題 13)，所以線性方程組 $A\mathbf{c} = \mathbf{b}$ 可以用 Cholesky 算則 6.6 或高斯消去法求解。算則 11.6 則列出了如何建構三次雲形線 $\phi(x)$ ，以利用 Rayleigh-Ritz 法求解 (11.21) 及 (11.22) 式的邊界值問題。

算則 11.6 三次雲形線 Rayleigh-Ritz 法 (cubic Spline Rayleigh-Ritz)

利用三次雲形線 $\phi(x) = \sum_{i=0}^{n+1} c_i \phi_i(x)$ 之和，求邊界值問題

$$-\frac{d}{dx} \left(p(x) \frac{dy}{dx} \right) + q(x)y = f(x), \quad 0 \leq x \leq 1, \text{ 約定 } y(0) = 0 \text{ 及 } y(1) = 0$$

的近似解。

INPUT 整數 $n \geq 1$ 。

OUTPUT 係數 c_0, \dots, c_{n+1} 。

Step 1 Set $h = 1/(n+1)$.

Step 2 For $i = 0, \dots, n+1$ set $x_i = ih$.

Set $x_{-2} = x_{-1} = 0$; $x_{n+2} = x_{n+3} = 1$.

Step 3 Define the function S by

$$S(x) = \begin{cases} 0, & x \leq -2, \\ \frac{1}{4}(2+x)^3, & -2 < x \leq -1, \\ \frac{1}{4}[(2+x)^3 - 4(1+x)^3], & -1 < x \leq 0, \\ \frac{1}{4}[(2-x)^3 - 4(1-x)^3], & 0 < x \leq 1, \\ \frac{1}{4}(2-x)^3, & 1 < x \leq 2, \\ 0, & 2 < x \end{cases}$$

Step 4 Define the cubic spline basis $\{\phi_i\}_{i=0}^{n+1}$ by

$$\phi_0(x) = S\left(\frac{x}{h}\right) - 4S\left(\frac{x+h}{h}\right),$$

$$\phi_1(x) = S\left(\frac{x-x_1}{h}\right) - S\left(\frac{x+h}{h}\right),$$

$$\phi_i(x) = S\left(\frac{x-x_i}{h}\right), \text{ for } i = 2, \dots, n-1,$$

$$\phi_n(x) = S\left(\frac{x-x_n}{h}\right) - S\left(\frac{x-(n+2)h}{h}\right),$$

$$\phi_{n+1}(x) = S\left(\frac{x-x_{n+1}}{h}\right) - 4S\left(\frac{x-(n+2)h}{h}\right).$$

Step 5 For $i = 0, \dots, n+1$ do Steps 6–9.

(註：可以用數值積分法求 Steps 6 和 9 中積分式的值)

Step 6 For $j = i, i+1, \dots, \min\{i+3, n+1\}$

set $L = \max\{x_{j-2}, 0\}$;

$U = \min\{x_{i+2}, 1\}$;

$$a_{ij} = \int_L^U [p(x)\phi_i'(x)\phi_j'(x) + q(x)\phi_i(x)\phi_j(x)] dx;$$

if $i \neq j$, then set $a_{ji} = a_{ij}$. (因為 A 為對稱)

Step 7 If $i \geq 4$ then for $j = 0, \dots, i-4$ set $a_{ij} = 0$.

Step 8 If $i \leq n-3$ then for $j = i+4, \dots, n+1$ set $a_{ij} = 0$.

Step 9 Set $L = \max\{x_{i-2}, 0\}$;

$U = \min\{x_{i+2}, 1\}$;

$$b_i = \int_L^U f(x)\phi_i(x) dx.$$

Step 10 Solve the linear system $A\mathbf{c} = \mathbf{b}$, where $A = (a_{ij})$, $\mathbf{b} = (b_0, \dots, b_{n+1})^t$ and $\mathbf{c} = (c_0, \dots, c_{n+1})^t$.

Step 11 For $i = 0, \dots, n+1$

OUTPUT (c_i).

Step 12 STOP. (程式完成)

說明題 求邊界值問題

$$-y'' + \pi^2 y = 2\pi^2 \sin(\pi x), \quad 0 \leq x \leq 1, \quad y(0) = y(1) = 0$$

的近似解。在算則 11.5 後面的說明題中我們令 $h = 0.1$ ，並使用分段線性基底函數求得其近似解。在此我們用同樣的節點，以 B 雲形線求得之結果列於表 11.8。

| 表 11.8

| i | c_i | x_i | $\phi(x_i)$ | $y(x_i)$ | $ y(x_i) - \phi(x_i) $ |
|-----|-----------------------------|-------|-------------|------------|------------------------|
| 0 | $0.50964361 \times 10^{-5}$ | 0 | 0.00000000 | 0.00000000 | 0.00000000 |
| 1 | 0.20942608 | 0.1 | 0.30901644 | 0.30901699 | 0.00000055 |
| 2 | 0.39835678 | 0.2 | 0.58778549 | 0.58778525 | 0.00000024 |
| 3 | 0.54828946 | 0.3 | 0.80901687 | 0.80901699 | 0.00000012 |
| 4 | 0.64455358 | 0.4 | 0.95105667 | 0.95105652 | 0.00000015 |
| 5 | 0.67772340 | 0.5 | 1.00000002 | 1.00000000 | 0.00000020 |
| 6 | 0.64455370 | 0.6 | 0.95105713 | 0.95105652 | 0.00000061 |
| 7 | 0.54828951 | 0.7 | 0.80901773 | 0.80901699 | 0.00000074 |
| 8 | 0.39835730 | 0.8 | 0.58778690 | 0.58778525 | 0.00000165 |
| 9 | 0.20942593 | 0.9 | 0.30901810 | 0.30901699 | 0.00000111 |
| 10 | $0.74931285 \times 10^{-5}$ | 1.0 | 0.00000000 | 0.00000000 | 0.00000000 |

我們建議，Steps 6 及 9 的積分可分成 2 步執行。首先，用 3.5 節所介紹的方法建立函數 p 、 q 及 f 的三次雲形線內插多項式。然後用三次雲形線或其導數的乘積，以近似原被積函數。這樣被積函數就成為分段多項式，可以在每一個次區段做真實積分，然後再加總。這樣可準確的獲得原積分式的近似值。

本節開始處所列之前提假設足以確保

$$\left\{ \int_0^1 |y(x) - \phi(x)|^2 dx \right\}^{1/2} = O(h^4), \quad \text{若 } 0 \leq x \leq 1.$$

此結果之證明可參考 [Schul] , pp. 107-108。

B 雲形線也可使用非均勻分布的節點，但較為複雜。在 [Schul] , p. 73 中對此方法有說明。另一種常用的基底為分段三次 Hermite 多項式。同樣的，在 [Schul] , pp. 24ff 有很清楚的說明。

另一種受到相當重視的方法為 Galerkin 法，或稱「弱式 (weak form)」法。對我們所考慮的邊界值問題

$$-\frac{d}{dx} \left(p(x) \frac{dy}{dx} \right) + q(x)y = f(x), \quad 0 \leq x \leq 1, \quad y(0) = 0, \quad y(1) = 0$$

並滿足本節開始處所列的假設條件，Galerkin 法及 Rayleigh-Ritz 法均取決於 (11.29) 式。但這並非普遍成立。有關這 2 種方法之異同，及 Galerkin 法的廣泛應用，可參見 [Schul] 及 [SF]。

另一種廣被用於求解邊界值問題的方法是**共位法** (method of collocation)。

此種方法首先要選取一個基底函數的集合 $\{\phi_1, \dots, \phi_N\}$ ，及 $[0, 1]$ 間數的集合 $\{x_1, \dots, x_n\}$ ，並要求近似值

$$\sum_{i=1}^N c_i \phi_i(x)$$

在每個 x_j , $1 \leq j \leq n$ ，滿足原微分方程。如果我們同時要求 $\phi_i(0) = \phi_i(1) = 0$, $1 \leq i \leq N$ ，則可自動滿足邊界條件。在文獻中，對於基底函數 $\{x_j\}$ 及節點 $\{\phi_i\}$ 的選擇有許多探討。一種較常用的方式是令基底函數 ϕ_i 為相對於 $[0, 1]$ 間區段的雲形線函數，並使用高斯積分法的節點或其他正交多項式的根，轉換至適當之區間。

在 [Ru] 中比較了各種共位法與有限差分法。其結論為，使用較高階雲形線的共位法，其結果相當於有限差分法加外推法。關於共位法另外可參考 [DebS] 及 [LR]。

習題組 11.5 完整習題請見隨書光碟

1. 使用分段線性算則求邊界值問題

$$y'' + \frac{\pi^2}{4}y = \frac{\pi^2}{16}\cos\frac{\pi}{4}x, \quad 0 \leq x \leq 1, \quad y(0) = y(1) = 0$$

的近似解，給定 $x_0 = 0$ 、 $x_1 = 0.3$ 、 $x_2 = 0.7$ 及 $x_3 = 1$ 。將結果與確解 $y(x) = -\frac{1}{3}\cos\frac{\pi}{2}x - \frac{\sqrt{2}}{6}\sin\frac{\pi}{2}x + \frac{1}{3}\cos\frac{\pi}{4}x$ 做比較。

2. 使用分段線性算則求邊界值問題

$$-\frac{d}{dx}(xy') + 4y = 4x^2 - 8x + 1, \quad 0 \leq x \leq 1, \quad y(0) = y(1) = 0$$

的近似解，給定 $x_0 = 0$ 、 $x_1 = 0.4$ 、 $x_2 = 0.8$ 及 $x_3 = 1$ 。將結果與確解 $y(x) = x^2 - x$ 做比較。

3. 使用分段線性算則求下列各邊界值問題的近似解，並將結果與確解做比較。

- a. $-x^2y'' - 2xy' + 2y = -4x^2, 0 \leq x \leq 1, y(0) = y(1) = 0$ ；使用 $h = 0.1$ ；確解為 $y(x) = x^2 - x$ 。
- b. $-\frac{d}{dx}(e^x y') + e^x y = x + (2-x)e^x, 0 \leq x \leq 1, y(0) = y(1) = 0$ ；使用 $h = 0.1$ ；確解為 $y(x) = (x-1)(e^{-x}-1)$ 。
- c. $-\frac{d}{dx}(e^{-x} y') + e^{-x} y = (x-1) - (x+1)e^{-(x-1)}, 0 \leq x \leq 1, y(0) = y(1) = 0$ ；使用 $h = 0.05$ ；確解為 $y(x) = x(e^x - e)$ 。
- d. $-(x+1)y'' - y' + (x+2)y = [2 - (x+1)^2]e \ln 2 - 2e^x, y(0) = y(1) = 0, 0 \leq x \leq 1$ ；使用 $h = 0.05$ ；確解為 $y(x) = e^x \ln(x+1) - (e \ln 2)x$ 。

4. 用三次雲形線算則及 $n=3$ ，求下列各邊界值問題近似解，並將結果與習題 1 及 2 所列的確解做比較。

- a. $y'' + \frac{\pi^2}{4}y = \frac{\pi^2}{16}\cos\frac{\pi}{4}x, 0 \leq x \leq 1, y(0) = 0, y(1) = 0$
- b. $-\frac{d}{dx}(xy') + 4y = 4x^2 - 8x + 1, 0 \leq x \leq 1, y(0) = 0, y(1) = 0$

5. 用三次雲形線算則重做習題 3。

6. 證明，邊界值問題

$$-\frac{d}{dx}(p(x)y') + q(x)y = f(x), \quad 0 \leq x \leq 1, \quad y(0) = \alpha, \quad y(1) = \beta,$$

可以經由變數代換

$$z = y - \beta x - (1-x)\alpha$$

轉換成

$$-\frac{d}{dx}(p(x)z') + q(x)z = F(x), \quad 0 \leq x \leq 1, \quad z(0) = 0, \quad z(1) = 0$$

的型式。

7. 利用習題 6 和分段線性算則及 $n=9$ ，求邊界值問題

$$-y'' + y = x, \quad 0 \leq x \leq 1, \quad y(0) = 1, \quad y(1) = 1 + e^{-1}$$

的近似解。

8. 用三次雲形線算則重做習題 7。

9. 證明，邊界值問題

$$-\frac{d}{dx}(p(x)y') + q(x)y = f(x), \quad a \leq x \leq b, \quad y(a) = \alpha, \quad y(b) = \beta,$$

可以用類似於習題 6 的方法轉換成

$$-\frac{d}{dw}(p(w)z') + q(w)z = F(w), \quad 0 \leq w \leq 1, \quad z(0) = 0, \quad z(1) = 0$$

的型式。

10. 證明分段線性基底函數 $\{\phi_i\}_{i=1}^n$ 為線性獨立。

11. 證明三次雲形線基底函數 $\{\phi_i\}_{i=0}^{n+1}$ 為線性獨立。

12. 證明，使用分段線性基底函數所得的矩陣為正定。

13. 證明，使用三次雲形線基底函數所得的矩陣為正定。



11.6 檢視方法與軟體

在本章中我們討論了求邊界值問題近似解的方法。對於線性邊界值問題

$$y'' = p(x)y' + q(x)y + r(x), \quad a \leq x \leq b, \quad y(a) = \alpha, \quad y(b) = \beta$$

我們探討了以射擊法與有限差分法求近似解。射擊法使用解初值問題的方法，求解

$$y'' = p(x)y' + q(x)y + r(x), \quad a \leq x \leq b, \quad y(a) = \alpha, \quad y'(a) = 0$$

及

$$y'' = p(x)y' + q(x)y, \quad a \leq x \leq b, \quad y(a) = 0, \quad y'(a) = 1$$

將它們的解做加權平均，可得線性邊界值問題的解，不過在某些特例中會有捨入誤差的問題。

在有限差分法中，我們用差分式取代 y'' 與 y' ，然後求解線性方程組。雖然所得的近似值可能不如射擊法準確，但對捨入誤差較不敏感。要提高準確度，可使用高階差分法或用外推法。

對於非線性邊界值問題

$$y'' = f(x, y, y'), \quad a \leq x \leq b, \quad y(a) = \alpha, \quad y(b) = \beta$$

我們也介紹了 2 種方法。非線性射擊法須要用一個初始估計值 t 解初值問題

$$y'' = f(x, y, y'), \quad a \leq x \leq b, \quad y(a) = \alpha, \quad y'(a) = t$$

我們用牛頓法求 $y(b, t) = \beta$ 的近似解，以改進 t 的估計值。此方法的每次迭代，必須解兩個初值問題。其準確度取決於解初值問題的準確度。

用於非線性方程式的有限差分法，則是用差分式取代 y'' 與 y' ，可得到非線性方程組。然後用牛頓法求解此方程組。可以用高階差分公式或外推法以提高其準確度。對捨入誤差，射擊法比有限差分法敏感。

我們介紹了以 Rayleigh-Ritz-Galerkin 法求邊界值問題

$$-\frac{d}{dx} \left(p(x) \frac{dy}{dx} \right) + q(x)y = f(x), \quad 0 \leq x \leq 1, \quad y(0) = y(1) = 0$$

的近似解。可以使用分段線性近似或三次雲形線近似。

大多數二階邊界值問題，可以擴展為具有

$$\alpha_1 y(a) + \beta_1 y'(a) = \alpha \text{ 及 } \alpha_2 y(b) + \beta_2 y'(b) = \beta$$

型式邊界條件的問題，其中 $|\alpha_1| + |\beta_1| \neq 0$ 且 $|\alpha_2| + |\beta_2| \neq 0$ ，但某些方法會變得非常複雜。對此類問題有興趣的讀者，最好是參考邊界值問題的專書，例如 [Keller,H]。

在 IMSL 程式庫中有多種求解邊界值問題的副程式，包括射擊法與有限差分法。其射擊法使用 Runge-Kutta-Verner 法解相對的初值問題。

在 NAG 程式庫中同樣也有很多求解邊界值問題的副程式。包括了，用 Runge-Kutta-Merson 法解初值問題再加上牛頓法、用有限差分法配合牛頓法解非線性方程組、以及使用共位法的線性有限差分法。

在 netlib 程式庫的 ODE 套件中，也有用於線性及非線性 2 點邊界值問題的副程式。這些副程式都使用多重射擊法。

在 Keller [Keller, H] 及 Baily、Shampine 和 Waltman [BSW] 的書中，對於求解兩點邊界值問題的一般性問題有更深入的說明。Roberts 和 Shipman [RS] 專注於兩點邊界值問題的射擊法，Pryce [Pr] 則專注於 Sturm-Liouville 問題。Ascher、Mattheij 和 Russell [AMR] 的書則對於多重射擊法與平行射擊法有完整的說明。